

Travaux dirigés de méthodes numériques

Problèmes physiques abordés

- Problème unidimensionnel (traité en TD) : conductivité thermique dans une barre, avec apport de la chaleur.
- Problème bidimensionnel de Poisson (non traité en TD) : flexion d'une plaque élastique, chargée perpendiculairement à son plan moyen de repos.

Plan

- T.D. n° 1: formulations intégrales fortes et faibles, et méthode de GALERKIN.
- T.D. n° 2: méthode de RITZ.
- T.D. n° 3: méthode des Eléments Finis.

Notations, conventions, et instructions

- Tout vecteur $\vec{a} \in \mathbb{R}^p$ (avec $p \geq 2$) sera toujours (implicitement) décrit par rapport à une base vectorielle *orthonormée* de \mathbb{R}^p , et de manière à ce que ses composantes $a_i \in \mathbb{R}$ forment une

matrice-colonne telle que : $\vec{a} = [a_i]_{i=1,\dots,p} = \begin{bmatrix} a_1 \\ \vdots \\ a_p \end{bmatrix}$.

La *transposée* de cette matrice-colonne est alors représentée comme la matrice-ligne : $\vec{a}^t = [a_1 \dots a_p]$.

- La matrice rectangulaire $M = [M_{ij}]_{\substack{i=1,\dots,p \\ j=1,\dots,q}} \in \mathcal{M}_{p \times q}$ d'une quelconque application linéaire de \mathbb{R}^q dans \mathbb{R}^p sera représentée avec ses composantes $M_{ij} \in \mathbb{R}$ disposées suivant

$$M = \begin{matrix} & \begin{matrix} \text{\textit{j}}^{\text{\textit{ème}}} \text{ colonne} \\ \downarrow \end{matrix} & & & \\ \begin{bmatrix} M_{11} & \cdots & M_{1j} & \cdots & M_{1q} \\ \vdots & & \vdots & & \vdots \\ M_{i1} & \cdots & M_{ij} & \cdots & M_{iq} \\ \vdots & & \vdots & & \vdots \\ M_{p1} & \cdots & M_{pj} & \cdots & M_{pq} \end{bmatrix} & \leftarrow \text{\textit{i}}^{\text{\textit{ème}}} \text{ ligne} & . \end{matrix}$$

Sa transposée est alors représentée selon : $M^t = \begin{bmatrix} M_{11} & \cdots & M_{i1} & \cdots & M_{p1} \\ \vdots & & \vdots & & \vdots \\ M_{1j} & \cdots & M_{ij} & \cdots & M_{pj} \\ \vdots & & \vdots & & \vdots \\ M_{1q} & \cdots & M_{iq} & \cdots & M_{pq} \end{bmatrix} \in \mathcal{M}_{q \times p}$.

Ces matrices M et M^t sont carrées lorsque les nombres de lignes et de colonnes sont égaux (*i.e.*

$p = q$), et nous simplifierons alors la notation de leur espace d'appartenance selon $\mathcal{M}_{p \times p} = \mathcal{M}_p$. $Id = [\delta_{ij}]_{i,j=1,\dots,p}$ désignera la matrice identité de cet espace de matrices.

- Tout opérateur \mathcal{D} d'intégration ou de dérivation s'appliquera sur les précédents vecteurs et matrices selon : $\mathcal{D}\vec{a} = [\mathcal{D}a_i]_{i=1,\dots,p} \in \mathbb{R}^p$ et $\mathcal{D}M = [\mathcal{D}M_{ij}]_{\substack{i=1,\dots,p \\ j=1,\dots,q}} \in \mathcal{M}_{p \times q}$.
- Le produit scalaire deux vecteurs \vec{a} et $\vec{b} \in \mathbb{R}^p$ s'identifiera aux produits matriciels

$$\vec{a} \bullet \vec{b} \equiv \vec{a}^t \vec{b} \equiv [\vec{a}^t \vec{b}]^t = \vec{b}^t \vec{a} = \underbrace{\begin{bmatrix} a_1 & \dots & a_p \end{bmatrix}}_{\text{transposée de } \vec{a}} \begin{bmatrix} b_1 \\ \vdots \\ b_p \end{bmatrix} = \sum_{i=1}^p a_i b_i \in \mathbb{R} .$$

★ On fera attention à transposer la première matrice-colonne et non la seconde dans ces produits pour obtenir un (produit) scalaire, car $\vec{a}^t \vec{b} \neq \vec{a} \vec{b}^t \in \mathcal{M}_p$.

En effet, on a même plus généralement pour deux vecteurs $\vec{a} \in \mathbb{R}^p$ et $\vec{b} \in \mathbb{R}^q$ le résultat suivant

$$\vec{a} \vec{b}^t \equiv [\vec{b} \vec{a}^t]^t = \begin{bmatrix} a_1 \\ \vdots \\ a_i \\ \vdots \\ a_p \end{bmatrix} \underbrace{\begin{bmatrix} b_1 & \dots & b_j & \dots & b_q \end{bmatrix}}_{\text{transposée de } \vec{b}} = \begin{bmatrix} a_1 b_1 & \dots & a_1 b_j & \dots & a_1 b_q \\ \vdots & & \vdots & & \vdots \\ a_i b_1 & \dots & a_i b_j & \dots & a_i b_q \\ \vdots & & \vdots & & \vdots \\ a_p b_1 & \dots & a_p b_j & \dots & a_p b_q \end{bmatrix} \in \mathcal{M}_{p \times q}$$

Néanmoins, ce dernier type de produit de matrices-colonnes – qui est équivalent à des produits tensoriels non-contracté de 2 vecteurs – interviendra dans nos analyses discrètes.

- La norme euclidienne d'un vecteur $\vec{a} = [a_i]_{i=1,\dots,p} \in \mathbb{R}^p$ a pour définition $\|\vec{a}\| \stackrel{\text{déf}}{=} \sqrt{\vec{a} \bullet \vec{a}} \equiv \sqrt{\vec{a}^t \vec{a}} = \sqrt{\sum_{i=1}^p a_i^2}$.

- Enfin, les intégrales seront calculées numériquement, mais de manière exacte, à partir des formules de “quadrature” qui seront données au fur et à mesure à la fin de chaque énoncé.

TD1: Formulations Intégrales et méthode de Galerkin

Problème 1: Conduction de chaleur dans une barre.

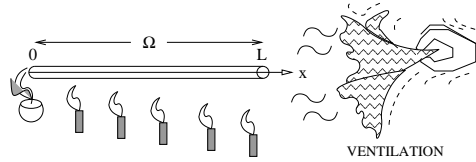


Figure 1: *Expérience très naïve (pour petits budgets ...).*

On se propose de résoudre numériquement le problème suivant:

$$(\mathcal{P}_0) \left\{ \begin{array}{l} \text{Trouver la fonction de température } T \text{ qui satisfait le système d'équations (différentielles) suivant:} \\ k \frac{d^2 T}{dx^2}(x) = c_1 x - c_o, \quad \forall x \in \Omega =]0, L[; \\ \text{avec } T(0) = T_o \text{ et } k \frac{dT}{dx}(L) = h . \end{array} \right.$$

Ici, les coefficients de conductivité thermique k et de l'apport de chaleur (c_o, c_1) , ainsi que le flux ponctuel de chaleur h , sont constants. Nos solutions numériques seront comparées avec la solution analytique (et donc exacte) de ce problème thermique :

$$T_{ex}(x) = T_o + \frac{x}{k} \left[h + c_o \left(L - \frac{x}{2} \right) + \frac{c_1}{2} \left(\frac{x^2}{3} - L^2 \right) \right], \quad \forall x \in \bar{\Omega} = [0, L] .$$

1. Formulations Intégrales.

La formulation suivante est proposée pour résoudre ce problème :

Trouver la fonction de température T qui satisfait l'équation intégrale suivante

$$0 = \int_0^L \phi(x) \left[k \frac{d^2 T}{dx^2}(x) + c_o - c_1 x \right] dx + \phi(L) \left[h - k \frac{dT}{dx}(L) \right] + \phi(0) [T_o - T(0)]$$

pour toute fonction de pondération ϕ suffisamment régulière sur $\bar{\Omega}$.

- (a) Cette la formulation intégrale (F.I.) est-elle forte, faible, ou/ et “ simplifiée ” ?
- (b) Si elle est forte, donnez la F.I. faible correspondante.

2. Approximations polynômiales, “thermiquement non-admissibles”.

On recherche une approximation numérique dont l'expression générale est (pour $m \in \mathbb{N}^*$)

$$T_m(x) = \sum_{j=0}^m N_j(x) \tau_j \quad \equiv \quad \underbrace{\vec{N}(x) \bullet \vec{\tau}}_{\text{produit scalaire}} \quad \equiv \quad \underbrace{\vec{N}^t(x) \vec{\tau}}_{\text{produit matriciel}}$$

$$\text{avec } \vec{\tau} = \begin{bmatrix} \tau_0 \\ \vdots \\ \tau_m \end{bmatrix} \in \mathbb{R}^{m+1} \quad \text{et} \quad \vec{N} = \begin{bmatrix} N_0 \\ \vdots \\ N_m \end{bmatrix} \in \begin{cases} [\mathcal{C}^2(\bar{\Omega})]^{m+1} & \text{en F.I. forte} \\ [\mathcal{C}^1(\bar{\Omega})]^{m+1} & \text{en F.I. faible} \end{cases} ;$$

ici les $m + 1$ constantes τ_i sont les paramètres à déterminer alors que les $m + 1$ fonctions de forme N_i , qui seront précisées plus loin, sont choisies de sorte à être linéairement indépendantes dans $\mathcal{C}^2(\bar{\Omega})$ pour la F.I. forte ou dans $\mathcal{C}^1(\bar{\Omega})$ pour la F.I. faible.

- (a) Appliquez la méthode de pondération de GALERKIN pour obtenir une équation matricielle du type $K\vec{\tau} = \vec{F}$, avec $K \in \mathcal{M}_{m+1}$ et $\vec{F} \in \mathbb{R}^{m+1}$.
- (b) Déterminez une approximation affine T_1 (avec $m = 1$) à partir de la F.I. faible, et en prenant pour fonctions de forme les fonctions d'interpolation nodale de LAGRANGE

$$\left\{ N_0(x) = 1 - \frac{x}{L}, N_1(x) = \frac{x}{L} \right\}, \text{ pour } m = 1.$$

- (c) Déterminez une approximation quadratique T_2 (avec $m = 2$) à partir de la F.I. forte, et en prenant les fonctions d'interpolation nodale de LAGRANGE suivantes

$$\left\{ N_0(x) = \left(1 - \frac{2x}{L}\right) \left(1 - \frac{x}{L}\right), N_1(x) = \frac{4x}{L} \left(1 - \frac{x}{L}\right), N_2(x) = \frac{x}{L} \left(\frac{2x}{L} - 1\right) \right\}, \text{ pour } m = 2$$

pour fonctions de forme. Ici, après avoir calculé K , on pourra se contenter d'admettre que

$$K^{-1} = \begin{bmatrix} 1 & -\frac{1}{4} & 0 \\ 1 & \frac{7L}{16k} - \frac{1}{4} & \frac{L}{2k} \\ 1 & \frac{L}{2k} - \frac{1}{4} & \frac{L}{k} \end{bmatrix}.$$

- (d) Que constatez-vous lorsque vous comparez les approximations T_1 et T_2 avec la solution exacte T_{ex} , pour $x \in \bar{\Omega}$?

3. Approximations polynômiales, "thermiquement admissibles".

Reprenez l'étude précédente en recherchant une approximation numérique du type

$$T_m(x) = T_o + \sum_{j=1}^m N_j(x) \tau_j \equiv T_o + \vec{N}(x) \bullet \vec{\tau} \equiv T_o + \vec{N}^t(x) \vec{\tau}$$

$$\text{avec } \vec{\tau} = \begin{bmatrix} \tau_1 \\ \vdots \\ \tau_m \end{bmatrix} \in \mathbb{R}^m \quad \text{et} \quad \vec{N} = \begin{bmatrix} N_1 \\ \vdots \\ N_m \end{bmatrix} \in \begin{cases} [\mathcal{C}^2(\bar{\Omega})]^m & \text{en F.I. forte} \\ [\mathcal{C}^1(\bar{\Omega})]^m & \text{en F.I. faible} \end{cases};$$

les m fonctions de forme $\{N_i\}_{i=1,\dots,m}$ étant encore celles décrites précédemment pour $m = 1$ et 2 .

★ Formulaires d'intégration (1D) :

La quadrature du "RECTANGLE" (= GAUSS-LEGENDRE d'ordre 2)

$$\int_{X_0}^{X_1} f(x) dx \approx (X_1 - X_0) f\left(\frac{X_0 + X_1}{2}\right),$$

est exacte pour tout polynôme affine" (et donc d'ordre inférieure) sur $[X_0, X_1]$. Celle de "SIMPSON"

$$\int_{X_0}^{X_1} f(x) dx \approx \frac{X_1 - X_0}{6} \left[f(X_0) + 4f\left(\frac{X_0 + X_1}{2}\right) + f(X_1) \right]$$

est exacte pour tout polynôme cubique (et donc d'ordre inférieure) sur $[X_0, X_1]$.

Problème 2 : Plaque élastique, chargée perpendiculairement à son plan moyen de repos.

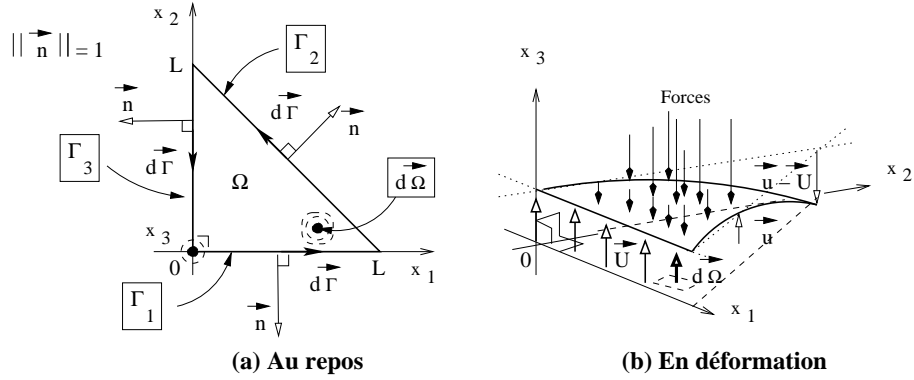


Figure 2: Les 2 configurations caractéristiques de la plaque dans le repère cartésien $(O; \vec{Ox}_1, \vec{Ox}_2, \vec{Ox}_3)$. Son domaine de repos est le triangle rectangle isocèle $\bar{\Omega} = \Omega \cup \Gamma$ qui est inclu dans le plan d'équation $x_3 = 0$. La surface Ω et le contour brisé $\Gamma = \Gamma_1 \cup \Gamma_2 \cup \Gamma_3$ sont mathématiquement recouverts (et orientés localement) par des "éléments géométriques vectoriels, et infinitésimaux", qui sont respectivement représentés par $d\vec{\Omega}(x)$ et $d\vec{\Gamma}(x)$. Ces 2 vecteurs sont toujours perpendiculaires au vecteur "normal" unitaire extérieur $\vec{n}(x)$ qui est défini sur Γ , dans le plan $x_3 = 0$.

Le problème mécanique suivant modélise un cas d'équilibre d'une plaque élastique, mince et homogène, en flexion :

Déterminer la fonction de déplacement vertical, u , qui satisfait les équations suivantes:

$$\mu \Delta u(x) = \frac{c}{L} \left(\frac{x_1}{L} - 1 \right), \quad \forall x \stackrel{\text{déf}}{=} (x_1, x_2) \in \Omega =]0, L[\times]0, L - x_1[;$$

$$(P'_0) \quad \left\{ \begin{array}{l} u(x) = U, \quad \forall x \in \Gamma_1 = [0, L] \times \{0\} ; \\ \mu \frac{\partial u}{\partial n}(x) = -\frac{c x_2^2}{2L\ell(x)}, \quad \forall x \in \Gamma \setminus \Gamma_1 \text{ et avec } \ell(x) = \begin{cases} \sqrt{2}L, & \forall x \in \Gamma_2 =]0, L[\times \{L - x_1\} \\ L, & \forall x \in \Gamma_3 = \{0\} \times]0, L[\end{cases} \end{array} \right.$$

Ici, la fonction ℓ mesure, autrement dit, la longueur du coté du triangle qui contient le point $x \in \Gamma \setminus \Gamma_1 = \Gamma_2 \cup \Gamma_3$; le coefficient de LAMÉ $\mu > 0$ est une caractéristique de la plaque élastique; le chargement qui est perpendiculairement à $\bar{\Omega}$ est défini avec des constantes de densité de forces $c > 0$ et de déplacement $U \geq 0$; enfin, on applique sur u des opérateurs différentiels qui sont tels que

$$\left\{ \begin{array}{l} \Delta \stackrel{\text{déf}}{=} \vec{\nabla} \cdot \vec{\nabla} = \vec{\nabla}^t \vec{\nabla} \stackrel{3D}{=} \sum_{i=1}^3 \frac{\partial^2}{\partial x_i^2} \stackrel{2D}{\sim} \sum_{i=1}^2 \frac{\partial^2}{\partial x_i^2} \\ \frac{\partial}{\partial n} \stackrel{\text{déf}}{=} \vec{n} \cdot \vec{\nabla} = \vec{n}^t \vec{\nabla} \stackrel{3D}{=} \sum_{i=1}^3 n_i(x) \frac{\partial}{\partial x_i} \stackrel{2D}{\sim} \sum_{i=1}^2 n_i(x) \frac{\partial}{\partial x_i} \end{array} \right.$$

avec $\left\{ \begin{array}{l} \vec{\nabla} \stackrel{3D}{=} \left[\frac{\partial}{\partial x_i} \right]_{i=1,2,3} \stackrel{2D}{\sim} \left[\frac{\partial}{\partial x_i} \right]_{i=1,2} \\ \vec{n}(x) \stackrel{3D}{=} [n_i(x)]_{i=1,2,3} \stackrel{2D}{\sim} [n_i(x)]_{i=1,2} \end{array} \right. \text{ car } \left\{ \begin{array}{l} \frac{\partial u}{\partial x_3}(x) \equiv 0, \quad \forall x \in \bar{\Omega} \\ n_3(x) \equiv 0, \quad \forall x \in \bar{\Gamma} \end{array} \right.$

On vérifie aisément que \mathcal{P}'_o a alors pour solution analytique

$$u_{ex}(x) = U - \frac{c x_2^2}{2\mu L} \left(1 - \frac{x_1}{L}\right) \quad , \quad \forall x = (x_1, x_2) \in \bar{\Omega} = [0, L] \times [0, L - x_1] .$$

Approximations. Reconsidérons ce problème mécanique à partir de la F.I. forte-simplifiée suivante:

Trouver la fonction de déplacement u qui satisfait l'équation intégrale suivante

$$0 = \int_{\Omega} \phi(x) \left[\mu \Delta u(x) + \frac{c_2}{L} \left(1 - \frac{x_1}{L}\right) \right] d\Omega - \int_{\Gamma \setminus \Gamma_1} \phi(x) \left[\mu \frac{\partial u}{\partial n}(x) + \frac{c x_2^2}{2L\ell(x)} \right] d\Gamma - \int_{\Gamma_1} \phi(x) [u(x) - U] d\Gamma$$

pour toute fonction de pondération ϕ suffisamment régulière sur $\bar{\Omega}$.

1. Déduisez la forme faible de la précédente F.I. , en utilisant la première formule de GREEN:

$$\int_{\Omega} g(x) \Delta f(x) d\Omega = \oint_{\Gamma} g(x) \frac{\partial f}{\partial n}(x) d\Gamma - \int_{\Omega} [\vec{\nabla} g(x)] \bullet [\vec{\nabla} f(x)] d\Omega$$

où $\oint_{\Gamma} f(x) d\Gamma = \int_{\Gamma_1} f(x) d\Gamma + \int_{\Gamma_2} f(x) d\Gamma + \int_{\Gamma_3} f(x) d\Gamma$

2. En appliquant la méthode de GALERKIN sur cette F.I. faible, établissez l'expression générique (en termes de \vec{N}) de l'équation matricielle $K\vec{\tau} = \vec{F}$ qui est associée à une approximation (affine et cinématiquement non-admissible) telle que $u_3(x) = \sum_{i=1}^3 N_i(x) \tau_i = \vec{N}^t(x) \vec{\tau}$.

3. Calculez numériquement $K \in \mathcal{M}_3$ et $\vec{F} \in \mathbb{R}^3$ en prenant, pour fonctions de forme, les fonctions d'interpolation nodale de LAGRANGE $\left\{ N_1(x) = 1 - \frac{x_1}{L} - \frac{x_2}{L} , N_2(x) = \frac{x_1}{L} , N_3(x) = \frac{x_2}{L} \right\}$.

4. Déduisez-en l'expression de l'approximation (affine et cinématiquement admissible) suivante

$$u_3(x) = U + N_3(x) \tau_3 .$$

Comparez finalement les valeurs de cette approximation u_3 et de u_{ex} aux sommets, au barycentre $x = (L/3, L/3)$ du triangle $\bar{\Omega}$, et aux milieux des bords $\{\Gamma_i\}_{i=1,2,3}$.

★ Indications et formules d'intégration (triangle, 2D):

- Pour alléger l'écriture des calculs, n'utilisez que les expressions 2D de $\vec{\nabla}$, Δ et \vec{n} .
- Les éléments $d\vec{\Omega}$ sont plus spécifiquement définis comme des surfaces planes et tangentes à Ω ; ils doivent former par combinaison une surface orientée, de même aire que Ω . Les éléments $d\vec{\Gamma}$ sont définis comme des segments tangents à Γ qui doivent former (par combinaison) une courbe orientée et de même longueur que Γ . Quand on les exprime en fonction des "variations" dx_1 et dx_2 ($dx_3 \equiv 0$) des coordonnées cartésiennes, on obtient $d\Omega = \|\vec{d\Omega}\| = \sqrt{\vec{d\Omega} \bullet \vec{d\Omega}} = dx_1 dx_2 > 0$ et $d\Gamma = \|\vec{d\Gamma}\| = \sqrt{\vec{d\Gamma} \bullet \vec{d\Gamma}} = \sqrt{dx_1^2 + dx_2^2} > 0$.
- Calculez les intégrales sur le triangle Ω en utilisant la quadrature de "GAUSS-LEGENDRE d'ordre 3" (i.e. qui est exacte pour tout polynôme quadratique en x_1 et x_2)

$$\int_0^L \int_0^{L-x_1} f(x) dx_2 dx_1 \approx \frac{L^2}{6} \left[f\left(0, \frac{L}{2}\right) + f\left(\frac{L}{2}, \frac{L}{2}\right) + f\left(\frac{L}{2}, 0\right) \right] ,$$

et celles sur la frontière Γ , en utilisant les précédentes quadratures (1D) avec des bornes d'intégration respectant l'orientation de Γ .

TD2: méthode de Ritz

Problème 1: Conduction de chaleur dans une barre.

Considérons les deux problèmes thermiques suivants:

$$(\mathcal{P}_1) \left\{ \begin{array}{l} \text{Trouver dans l'espace fonctionnelle } V_1 = \left\{ T \in \mathcal{H}^1([0, L]) \text{ t.q. } T(0) = T_o \right\} \\ \text{la fonction de température } T_{ex} \text{ minimise l'énergie potentielle} \\ J_1(T) = \int_0^L \frac{k}{2} \left[\frac{dT}{dx}(x) \right]^2 dx - \int_0^L [c_o - c_1 x] T(x) dx - h T(L), \end{array} \right.$$

et

$$(\tilde{\mathcal{P}}_1) \left\{ \begin{array}{l} \text{Trouver dans l'espace fonctionnelle } \tilde{V}_1 = \mathcal{H}^1([0, L]) \times \mathcal{C}^o(\{0\}) \text{ le couple} \\ \text{de fonction de température et de multiplicateur de LAGRANGE } (T_{ex}, \lambda_{ex}) \\ \text{qui minimise l'énergie potentielle } \tilde{J}_1(T, \lambda) = J_1(T) + \lambda(0) [T(0) - T_o]; \end{array} \right.$$

1. Conditions nécessaires de minimisation et premières variations des énergies.

Explicitez les conditions nécessaires de minimisation de J_1 et \tilde{J}_1 , et en particulier celles qui se découlent de leur condition de stationnarité respective :

$$i) \delta_\phi J_1(T_{ex}) \stackrel{déf}{=} \lim_{\varepsilon \rightarrow 0^+} \frac{J_1(T_{ex} + \varepsilon \phi) - J_1(T_{ex})}{\varepsilon} = 0, \quad \forall \phi \in V_1^o = \left\{ \phi \in \mathcal{H}^1([0, L]) \text{ t.q. } \phi(0) = 0 \right\}$$

$$ii) \delta_{\{\phi, \tilde{\phi}\}} \tilde{J}_1(T_{ex}, \lambda_{ex}) \stackrel{déf}{=} \lim_{\varepsilon \rightarrow 0^+} \frac{\tilde{J}_1(T_{ex} + \varepsilon \phi, \lambda_{ex} + \varepsilon \tilde{\phi}) - \tilde{J}_1(T_{ex}, \lambda_{ex})}{\varepsilon} = 0, \quad \forall (\phi, \tilde{\phi}) \in \tilde{V}_1$$

2. Approximations.

Nous allons rechercher des approximations de T_{ex} et (T_{ex}, λ_{ex}) en substituant, respectivement dans \mathcal{P}_1 et $\tilde{\mathcal{P}}_1$, les espaces (*infinies*) V_1 et \tilde{V}_1 par les sous-espaces (*finies*) qui suivent :

$$V_m = \left\{ T_m \in \mathcal{C}^1([0, L]) \text{ t.q. } \left\{ \begin{array}{l} \exists \vec{\tau} = [\tau_i]_{i=0, \dots, m} \in \mathbb{R}^{m+1} \\ \text{t.q. } T_m(x) = \vec{N}^t(x) \vec{\tau} \end{array} \right. , \text{ et } T_m(0) = T_o \right\},$$

$$\tilde{V}_m = \left\{ (T_m, \lambda_m) \in \mathcal{C}^1([0, L]) \times \mathcal{C}^o(\{0\}) \text{ t.q. } \left\{ \begin{array}{l} \exists \vec{\tau} = [\tau_i]_{i=0, \dots, m} \in \mathbb{R}^{m+1} \\ \text{t.q. } T_m(x) = \vec{N}^t(x) \vec{\tau} \end{array} \right. \right\};$$

$\vec{N} = [N_i]_{i=0, \dots, m} \in [\mathcal{C}^1([0, L])]^{m+1}$ étant composé de $m + 1$ fonctions linéairement indépendantes dans $\mathcal{C}^1([0, L])$ et qui donnent $\vec{N}(0) = [\delta_{ip}]_{i=0, \dots, m}$, avec $p \in \{0, \dots, m\}$ fixé.

(a) Reformulez les énergies $J_1(T_m)$ et $\tilde{J}_1(T_m, \lambda_m)$ en fonction des variables $\vec{\tau}$ et λ_m , et de

$$K = \int_0^L k \frac{d\vec{N}}{dx}(x) \frac{d\vec{N}^t}{dx}(x) dx = K^t \in \mathcal{M}_{m+1},$$

$$\vec{F} = \int_0^L [c_o - c_1 x] \vec{N}(x) dx + h \vec{N}(L) \in \mathbb{R}^{m+1}.$$

(b) Explicitez les nouvelles conditions nécessaires de minimisation de J_1 , sachant que sa condition de stationnarité 1.i) est maintenant telle que :

$$\delta_{\phi_m} J_1(T_m) = 0, \quad \forall \phi_m \in V_m^o = \left\{ \phi_m \in \mathcal{C}^1([0, L]) \text{ t.q. } \left\{ \begin{array}{l} \exists \vec{\varphi} = [\varphi_i]_{i=0, \dots, m} \in \mathbb{R}^{m+1} \\ \text{t.q. } \phi_m(x) = \vec{N}^t(x) \vec{\varphi} \end{array} \right. , \text{ et } \phi_m(0) = 0 \right\}.$$

(c) Vérifiez que ces conditions nécessaires sont équivalentes aux équations ci-dessous :

$$\begin{aligned}
i) \quad K' \vec{\tau} = \vec{F}', \text{ avec } \begin{cases} K' &= [Id - \vec{N}(0)\vec{N}^t(0)]K + \vec{N}(0)\vec{N}^t(0), \quad Id = [\delta_{ij}]_{i,j=0,\dots,m} \\ \vec{F}' &= [Id - \vec{N}(0)\vec{N}^t(0)]\vec{F} + T_o\vec{N}(0) \end{cases} \\
ii) \quad K'' \vec{\tau} = \vec{F}'', \text{ avec } \begin{cases} K'' &= K''^t = [Id - \vec{N}(0)\vec{N}^t(0)]K [Id - \vec{N}(0)\vec{N}^t(0)] + \vec{N}(0)\vec{N}^t(0) \\ \vec{F}'' &= [Id - \vec{N}(0)\vec{N}^t(0)] [\vec{F} - T_o K \vec{N}(0)] + T_o \vec{N}(0) \end{cases} \\
iii) \quad \begin{cases} \tau_p &= T_o \\ \vec{K} \vec{\tau} &= \vec{F} \end{cases}, \text{ avec } \begin{cases} \vec{K} = \vec{K}^t = [K_{ij}]_{\substack{i,j=0,\dots,m \\ i,j \neq p}}, \quad \vec{\tau} = [\tau_i]_{\substack{i=0,\dots,m \\ i \neq p}} \\ \vec{F} &= [F_i - T_o K_{pi}]_{\substack{i=0,\dots,m \\ i \neq p}} \end{cases}
\end{aligned}$$

(d) Explicitez les nouvelles conditions nécessaires de minimisation de \tilde{J}_1 , sachant que sa condition de stationnarité 1.ii) est maintenant telle que :

$$\delta_{(\phi_m, \tilde{\varphi})} \tilde{J}_1(T_m, \lambda_m) = 0, \quad \forall (\phi_m = \vec{N}^t \tilde{\varphi}, \tilde{\varphi}) \in \tilde{V}_m.$$

Vérifiez alors que l'on a comme condition nécessaire : $\lambda_m(0) = \vec{N}^t(0) [\vec{F} - K \vec{\tau}]$.

3. Applications numériques.

(a) Appliquez la méthode i) du 2c) pour déterminer $T_1 = N_0(x) \tau_0 + N_1(x) \tau_1$ quand

$$\vec{N}(x) = \begin{bmatrix} 1 - \frac{x}{L} \\ \frac{x}{L} \end{bmatrix}, \text{ en sachant } K = \frac{k}{L} \begin{bmatrix} 1 & -1 \\ -1 & 1 \end{bmatrix} \text{ et } \vec{F} = \begin{bmatrix} \frac{c_o L}{2} - \frac{c_1 L^2}{6} \\ \frac{c_o L}{2} - \frac{c_1 L^2}{3} + h \end{bmatrix}.$$

(b) Appliquez la méthode iii) du 2c) pour déterminer $T_2 = N_0(x) \tau_0 + N_1(x) \tau_1 + N_2(x) \tau_2$

$$\text{quand } \vec{N}(x) = \begin{bmatrix} \left(1 - \frac{2x}{L}\right) \left(1 - \frac{x}{L}\right) \\ \frac{4x}{L} \left(1 - \frac{x}{L}\right) \\ \frac{x}{L} \left(\frac{2x}{L} - 1\right) \end{bmatrix}, \text{ en sachant}$$

$$K = \frac{k}{3L} \begin{bmatrix} 7 & -8 & 1 \\ -8 & 16 & -8 \\ 1 & -8 & 7 \end{bmatrix} \text{ et } \vec{F} = \begin{bmatrix} \frac{c_o L}{6} \\ \frac{2c_o L}{3} - \frac{c_1 L^2}{3} \\ \frac{c_o L}{6} - \frac{c_1 L^2}{6} + h \end{bmatrix}.$$

(c) Comparez ensuite les valeurs des multiplicateurs de LAGRANGE (discrets) $\lambda_m(0)$ et du flux $k \frac{dT_m}{dx}(0)$ (où $m = 1, 2$) avec celle de $\lambda_{ex(0)} = k \frac{dT_{ex}}{dx}(0)$.

Problème 2 : Plaque élastique chargée perpendiculairement à son plan moyen de repos.

Reconsidérons le problème de la plaque triangulaire en flexion du TD n°1 avec la formulation énergétique suivante :

$$(\mathcal{P}'_1) \left\{ \begin{array}{l} \text{Trouver la fonction de déplacement } u_{ex} \in V_1 = \left\{ u \in \mathcal{H}^1(\bar{\Omega}) \text{ t.q. } u(x) = U, \forall x \in \Gamma_1 \right\} \\ \text{qui minimise l'énergie potentielle} \\ J_1(u) = \int_{\Omega} \left\{ \frac{\mu}{2} [\vec{\nabla} u(x)] \bullet [\vec{\nabla} u(x)] - \frac{c}{L} \left(1 - \frac{x_1}{L}\right) u(x) \right\} d\Omega + \int_{\Gamma \setminus \Gamma_1} \frac{c x_2^2}{2L\ell(x)} u(x) d\Gamma \end{array} \right.$$

1. Approximation du déplacement vertical

Appliquez la méthode de Ritz pour déterminer l'approximation (affine sur $\bar{\Omega}$)

$$u_3 = \sum_{i=1}^3 N_i(x) \tau_i = \vec{N}^t(x) \vec{\tau} \quad ,$$

qui est définie avec le vecteur de fonctions d'interpolation nodale de LAGRANGE suivant

$$\vec{N}(x) = \begin{bmatrix} N_1(x) \\ N_2(x) \\ N_3(x) \end{bmatrix} = \begin{bmatrix} 1 - \frac{x_1}{L} - \frac{x_2}{L} \\ \frac{x_1}{L} \\ \frac{x_2}{L} \end{bmatrix} .$$

2. Approximations des forces de réaction sur Γ_1

Dans le cas d'une analyse continue, les *valeurs locales des forces de réaction* sur Γ_1 peuvent-être obtenues en minimisant l'énergie

$$J_2(u, \lambda) = J_1(u) + \int_{\Gamma_1} \frac{\lambda(x)}{L} [u(x) - U] d\Gamma \quad , \text{ avec } u \in \mathcal{H}^1(\bar{\Omega}) \text{ et } \lambda \in \mathcal{L}^2(\Gamma_1) .$$

Ces valeurs correspondent alors à celles du multiplicateur de LAGRANGE

$$\lambda_{ex}(x) = \mu L \left(\frac{\partial u_{ex}}{\partial n} \right)_{/\Gamma_1} (x) \quad , \quad \underline{\underline{\forall x_1 \in]0, L[}} \quad ,$$

et peuvent-être estimées numériquement aux points nodaux $A_i \in \Gamma_1$ (*i.e.* où $N_j(A_i) = \delta_{ij}$), en recherchant le couple de fonction de déplacement u_3 et de multiplicateur de LAGRANGE (d'approximation) λ_3 qui minimise l'énergie

$$J_2(u_3, \lambda_3) = J_1(u_3) + \sum_{\{A_i\} \subset \Gamma_1} \lambda_{3(A_i)} [u_{3(A_i)} - U] \quad , \text{ avec } \vec{\tau} \in \mathbb{R}^3 \text{ et } \lambda_3 \in \mathcal{C}^0(\{A_i \in \Gamma_1\}) .$$

- Utilisez la méthode vue au problème de la chaleur pour obtenir les valeurs du multiplicateur de LAGRANGE $\lambda_3(x)$ aux points nodaux $x = (0^+, 0)$ et $x = (L^-, 0)$.
- Comparez ces valeurs avec celles des flux $\mu L \left(\frac{\partial u_3}{\partial n} \right)_{/\Gamma_1} (x)$ et $\mu L \left(\frac{\partial u_{ex}}{\partial n} \right)_{/\Gamma_1} (x)$, pour $x_1 \in \{0^+, L^-\}$.

TD3: Éléments Finis

Problème 1: Conduction de chaleur dans une barre.

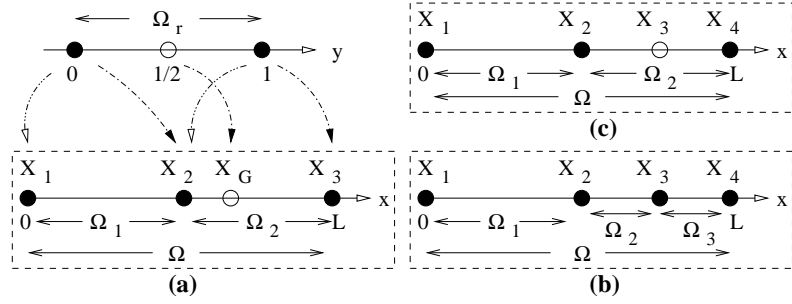


Figure 3: Les p éléments finis $\bar{\Omega}_e$, et les $n + 1$ noeuds $\{X_{n_g}\}$ des fonctions d'interpolation $\{N_{n_g}\}$.

Nous allons maintenant traiter le problème de minimisation thermique \mathcal{P}_1 (et \mathcal{P}_2) du T.D. n°2 par la méthode des ÉLÉMENTS FINIS,

1° – en partitionnant (*i.e.* maillant) convenablement le domaine $\bar{\Omega} = [0, L]$ en un nombre p d'éléments finis $\Omega_e =]X_{n_g(e,0)}, X_{n_g(e,m_e)}[\neq \emptyset$ avec $e = 1, \dots, p$ ($\bar{\Omega} \approx \bigcup_{e=1}^p \bar{\Omega}_e$, et $\Omega_e \cap \Omega_{e'} = \emptyset$, si $e \neq e'$);

2° – et en recherchant alors une (ou la) fonction d'approximation T_n qui minimise l'énergie potentielle

$$J_1(T) = \int_{\Omega} \frac{k}{2} \left[\frac{dT}{dx}(x) \right]^2 dx - \int_{\Omega} [c_o - c_1 x] T(x) dx - h T(L)$$

dans un certain espace de fonctions d'interpolation nodale (à $n + 1$ noeuds),

$$V_n = \left\{ T \in \mathcal{H}^1 \left(\bigcup_{e=1}^p \bar{\Omega}_e \right) \text{ t.q. } \begin{cases} \exists \vec{\tau}_e = [\tau_{n_g(e,n_l)}]_{n_l=0, \dots, m_e} \in \mathbb{R}^{m_e+1} \\ \text{t.q. } T|_{\bar{\Omega}_e}(x) = \vec{N}_e^t(x) \vec{\tau}_e \end{cases}, \text{ et } T(0) = T_o \right\}.$$

Chacun des p vecteurs $\vec{N}_e = [N_{n_g(e,n_l)}]_{n_l=0, \dots, m_e}$ est notamment composé de $m_e + 1$ fonctions d'interpolation nodale, $N_{n_g(e,n_l)}$, qui sont linéairement indépendantes dans $\mathcal{H}^1(\bigcup_{e=1}^p \bar{\Omega}_e)$ et à support dans $\bar{\Omega}_e$ (*i.e.* non-identiquement nulles sur $\bar{\Omega}_e$ seulement).

Les abscisses $\{X_{n_g} \equiv X_{n_g(e,n_l)}\} \in \bigcup_{e=1}^p \bar{\Omega}_e$ des $n + 1$ noeuds des fonctions d'interpolation de V_n seront précisées ci-après dans *une table de coordonnées nodales*. Ces noeuds sont à la fois numérotés par rapport à $\bigcup_{e=1}^p \bar{\Omega}_e$ avec les valeurs globales $n_g \in \{1, \dots, n + 1\}$, et par rapport à l'élément $\bar{\Omega}_e \ni X_{n_g(e,n_l)}$ avec les valeurs locales $n_l \in \{0, \dots, m_e\}$; ces 2 numérotations sont liées par une fonction numérique surjective, $(e, n_l) \mapsto n_g(e, n_l) = n_g$, que l'on exprimera via une *table de connectivité* telle que :

$\lfloor \mathbf{n}_1$	0	...	$m = \max_{1 \leq e \leq p} \{m_e\}$
$\mathbf{e} \rfloor$			
1	valeur de $n_g(1, 0)$...	valeur de $n_g(1, m)$ ou rien si $m > m_e$
\vdots	\vdots		\vdots
p	valeur de $n_g(p, 0)$...	valeur de $n_g(p, m)$ ou rien si $m > m_e$

Cette table est notamment utile pour former le vecteur global $\vec{\tau} = [\tau_{n_g}]_{n_g=1, \dots, n+1} \in \mathbb{R}^{n+1}$, en “assemblant” les composantes des p vecteurs de paramètres nodaux élémentaires, $\{\vec{\tau}_e\}_{e=1, \dots, p}$.

1. Exprimez l'énergie $J_1(T_n)$ en fonction des p triplets élémentaires $(K_e, \vec{F}_e, \vec{\tau}_e)$, sachant que

$$K_e = \int_{\Omega_e} k \frac{d\vec{N}_e}{dx}(x) \frac{d\vec{N}_e^t}{dx}(x) dx = K_e^t \quad ,$$

$$\vec{F}_e = \begin{cases} \int_{\Omega_e} [c_0 - c_1 x] \vec{N}_e(x) dx + h \vec{N}_e(L) & , \quad \text{si } L \in \bar{\Omega}_e \\ \int_{\Omega_e} [c_0 - c_1 x] \vec{N}_e(x) dx & , \quad \text{si } L \notin \bar{\Omega}_e \end{cases} .$$

2. Approximation avec $p = 2$ (éléments) et $n + 1 = 3$ (noeuds d'interpolation) (Figure 3a).

Nous maillons $\bar{\Omega}$ avec deux éléments, $\bar{\Omega}_1 = [X_1, X_2]$ et $\bar{\Omega}_2 = [X_2, X_3]$, qui sont définis avec la

table de coordonnées nodales suivante :

Noeud X_{n_g}	X_1	X_2	X_3
Valeur $x =$	0	$L/2$	L

Les deux vecteurs $\{\vec{N}_e\}_{e=1,2}$ sont formés des mêmes fonctions d'interpolation de LAGRANGE,

$$\vec{N}_e(x(y)) = \vec{N}_1(y) \stackrel{\text{déf}}{=} \begin{bmatrix} 1 - y \\ y \end{bmatrix} \quad , \quad \forall y \in \bar{\Omega}_r = [0, 1] \quad (\text{et pour } e = 1, 2) \quad ,$$

quand on utilise les transformations géométriques isoparamétriques (et affines) suivantes

$$\begin{cases} \bar{\Omega}_r & \xrightarrow{x} & \bar{\Omega}_e = [X_{n_g(e,0)}, X_{n_g(e,m_e)}] \\ y & \longmapsto & x(y) = (1 - y) X_{n_g(e,0)} + y X_{n_g(e,m_e)} = \vec{N}_1^t(y) \vec{X}_e \quad , \quad \text{avec } \vec{X}_e = \begin{bmatrix} X_{n_g(e,0)} \\ X_{n_g(e,m_e)} \end{bmatrix} \end{cases}$$

entre les éléments $\{\bar{\Omega}_e\}_{e=1,2}$ et un élément $\bar{\Omega}_r$ qui est dit de *référence*.

- (a) Calculez chaque couple (K_e, \vec{F}_e) , en effectuant tous les calculs sur $\bar{\Omega}_r$.
- (b) Explicitez le tableau de connectivité, puis établissez la matrice $K = [K_{n_g n'_g}]_{n_g, n'_g=1, n+1} \in \mathcal{M}_{n+1}$ et le vecteur $\vec{F} = [F_{n_g}]_{n_g=1, n+1} \in \mathbb{R}^{n+1}$ qui sont associés à $\vec{\tau}$ dans $J_1(T_n) = \vec{\tau}^t \left[\frac{1}{2} K \vec{\tau} - \vec{F} \right]$.
- (c) Déterminez $\vec{\tau} = \begin{bmatrix} \tau_1 \\ \tau_2 \end{bmatrix}$, puis déduisez-en l'approximation T_2 recherchée ainsi qu'une estimation de la valeur du flux de température $k \frac{dT_{ex}}{dx}(0)$ avec un multiplicateur de LAGRANGE $\lambda_2(0)$.

(Exercices supplémentaires: raffinements de l'approximation.)

3. Effets d'une transformation géométrique nonlinéaire (Figure 3a) sur $\bar{\Omega}_2$.

L'élément $\Omega_2 =]X_2, X_3[$ est redéfini selon $\Omega_2 =]X_2, X_G] \cup [X_G, X_3[$, avec un $3^{ème}$ noeud géométrique supplémentaire $X_G \in [X_2, X_3]$. Toutefois, nous recherchons encore une approximation T_2 qui reste définie avec $\vec{N}_2(x(y)) = \vec{N}_1(y)$, $\forall x \in \bar{\Omega}_2$, mais avec

$$\left\{ \begin{array}{l} \bar{\Omega}_r \xrightarrow{x} \bar{\Omega}_2 = [X_2, X_G] \cup [X_G, X_3] \\ y \mapsto x(y) = \vec{N}_2^t(y) \vec{X}_2 \quad , \text{ avec } \vec{X}_2 = \begin{bmatrix} X_2 \\ X_G \\ X_3 \end{bmatrix} \text{ et } \vec{N}_2(y) \stackrel{d\acute{e}f}{=} \begin{bmatrix} (1-2y)(1-y) \\ 4y(1-y) \\ y(2y-1) \end{bmatrix} \end{array} \right.$$

- Quelles conditions doit satisfaire le noeud X_G pour que cette transformation géométrique soit réellement quadratique (et alors *super-paramétrique*), et régulière (*i.e.* bijective et avec $\frac{dx}{dy}(y) \neq 0, \forall y \in \bar{\Omega}_r$) ?
- Peut-on calculer alors, *de façons exacte*, les intégrales qui constituent K_2 et F_2 en utilisant des quadratures (d'interpolation polynômiale) définies sur $\bar{\Omega}_r$? et sur $\bar{\Omega}_2$?
- Déterminez l'expression exacte de l'approximation T_2 quand $X_G = \frac{2L}{3}$, ainsi que la nouvelle valeur du multiplicateur de LAGRANGE $\lambda_2(0)$.

4. Approximation avec $p = 3$ et $n + 1 = 4$ (Figure 3b).

Reprenez l'étude **2.** en remplaçant son élément $\bar{\Omega}_2$ par deux éléments qui sont $\bar{\Omega}_2 = [X_2, X_3]$ et $\bar{\Omega}_3 = [X_3, X_4]$, et que nous délimitons avec :

Noeud X_{n_g}	X_1	X_2	X_3	X_4
valeur $x =$	0	$L/2$	$3L/4$	L

Nous voulons obtenir alors une approximation T_3 qui soit, comme en **2.**, définie isoparamétriquement pour $e = 1, 2, 3$.

5. Approximation avec $p = 2$ et $n + 1 = 4$ (Figure 3c).

Reprenez l'étude **4.** en remplaçant ses deux éléments $\bar{\Omega}_2$ et $\bar{\Omega}_3$ par un seul élément $\bar{\Omega}_2 = [X_2, X_3] \cup [X_3, X_4]$. Cependant, pour continuer à avoir la meilleure valeur d'approximation possible en X_3 , nous recherchons une fonction T_3 qui soit définie *sub-paramétriquement* sur le nouvel élément $\bar{\Omega}_2$, avec :

$$\vec{N}_2(x(y)) = \underline{\underline{\vec{N}_2(y)}} \quad , \text{ quand } x(y) = \underline{\underline{\vec{N}_1(y)}} \vec{X}_e \in \bar{\Omega}_e \quad , \quad \vec{X}_e = \begin{bmatrix} X_{n_g(e,0)} \\ X_{n_g(e,m_e)} \end{bmatrix} \quad , \text{ et } e = 1, 2 \quad .$$

6. Comparez les valeurs de T_{ex} et des approximations T_n des parties **2.**, **3.**, **4.**, et **5.** en $x \in \{0^+, (L/2)^\pm, (2L/3)^\pm, (3L/4)^\pm, L^-\}$; faites de même avec les flux $k \frac{T_{ex}}{dx}$ et $k \frac{T_n}{dx}$.

Problème 2 : Plaque élastique chargée perpendiculairement à son plan moyen de repos.

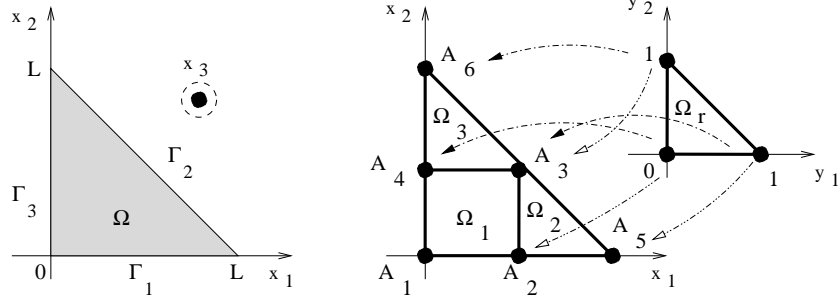


Figure 4: Le partitionnement en 3 éléments finis et les 6 noeuds d'interpolation $\{A_{n_g}\}_{n_g=1,\dots,6}$. Les éléments triangulaires $\{\bar{\Omega}_e\}_{e=2,3}$ de ce maillage se réfèrent à un élément $\bar{\Omega}_r$ qui a 2 côtés unitaires.

On applique la méthode des éléments finis au problème (\mathcal{P}'_1) du **TD2**. Le domaine de repos $\bar{\Omega} = \{x = (x_1, x_2) \in [0, L] \times [0, 1 - x_1]\}$ est partitionné en 3 éléments, $\{\Omega_e\}_{e=1,2,3}$ (cf **Figure 4**). Les coordonnées $(X_{1n_g}, X_{2n_g}, X_{3n_g})$ des sommets $A_{n_g(e, n_l)}$ de l'élément rectangulaire Ω_1 (avec $e = 1$ et $0 \leq n_l \leq m_e = 3$) et des éléments triangulaires Ω_2 (avec $e = 2$ et $0 \leq n_l \leq m_e = 2$) et Ω_3 (avec $e = 3$ et $0 \leq n_l \leq m_e = 2$) sont notamment spécifiées dans la *table des coordonnées* qui suit :

Noeud A_{n_g}	A_1	A_2	A_3	A_4	A_5	A_6
$x_1 : X_{1n_g} =$	0	$L/2$	$L/2$	0	L	0
$x_2 : X_{2n_g} =$	0	0	$L/2$	$L/2$	0	L
$x_3 : X_{3n_g} =$	0	0	0	0	0	0

et leurs numérotations globale et locale dans la table de connectivité suivante :

$e]$	$[n_l$	0	1	2	3
1	$n_g(1, 0) = 1$	$n_g(1, 1) = 2$	$n_g(1, 2) = 3$	$n_g(1, 3) = 4$	
2	$n_g(2, 0) = 2$	$n_g(2, 1) = 5$	$n_g(2, 2) = 3$		
3	$n_g(3, 0) = 4$	$n_g(3, 1) = 3$	$n_g(3, 2) = 6$		

Nous voulons déterminer alors l'approximation u_5 qui minimise l'énergie potentielle

$$J_1(u) = \int_{\Omega} \left\{ \frac{\mu}{2} [\vec{\nabla}u(x)] \bullet [\vec{\nabla}u(x)] - \frac{c}{L} \left(1 - \frac{x_1}{L}\right) u(x) \right\} d\Omega + \int_{\Gamma \setminus \Gamma_1} \frac{c x_2^2}{2L\ell(x)} u(x) d\Gamma$$

dans un espace de fonctions d'interpolation nodale (à 6 noeuds dans $\bigcup_{e=1}^p \bar{\Omega}_e$) qui est

$$V_5 = \left\{ u \in \mathcal{H}^1 \left(\bigcup_{e=1}^p \bar{\Omega}_e \right) ; u|_{\bar{\Omega}_e}(x) = \sum_{n_l=0}^{m_e} N_{n_g(e, n_l)}(x) \tau_{n_g(e, n_l)} = \vec{N}_e^t(x) \vec{\tau}_e, \text{ et } u|_{\Gamma_1}(x) = U \right\}.$$

Les vecteurs $\vec{N}_e = [N_{n_g(e, n_l)}]_{n_l=0, \dots, m_e} \in [\mathcal{H}^1(\bar{\Omega}_e)]^{m_e+1}$ générateurs de cet espace d'approximation sont constitués de fonctions d'interpolation nodale de LAGRANGE qui sont :

1°- bi-affines sur $\bar{\Omega}_1$:

$$\vec{N}_1(x) = \begin{bmatrix} N_{n_g(1,0)} \\ N_{n_g(1,1)} \\ N_{n_g(1,2)} \\ N_{n_g(1,3)} \end{bmatrix} (x) = \begin{bmatrix} \left(1 - \frac{x_1}{L_1}\right) \left(1 - \frac{x_2}{L_2}\right) \\ \frac{x_1}{L_1} \left(1 - \frac{x_2}{L_2}\right) \\ \frac{x_1 x_2}{L_1 L_2} \\ \left(1 - \frac{x_1}{L_1}\right) \frac{x_2}{L_2} \end{bmatrix} \quad \text{où} \begin{cases} x = (x_1, x_2) \in \bar{\Omega}_1, \\ L_1 = X_{12} - X_{11} \\ \text{et } L_2 = X_{22} - X_{21} \end{cases} ;$$

2°- affines sur un élément de référence triangulaire $\bar{\Omega}_r = \{y = (y_1, y_2) \in [0, 1] \times [0, 1 - y_1]\}$:

$$\vec{N}_e(x(y)) = \begin{bmatrix} N_{n_g(e,0)} \\ N_{n_g(e,1)} \\ N_{n_g(e,2)} \end{bmatrix} (x(y)) = \vec{\tilde{N}}(y) = \begin{bmatrix} 1 - y_1 - y_2 \\ y_1 \\ y_2 \end{bmatrix} \quad \text{où} \begin{cases} y \in \bar{\Omega}_r \\ x(y) \in \bar{\Omega}_e \text{ pour } \underline{\underline{e = 2, 3}} \end{cases}$$

avec les transformations isoparamétriques (et affines) qui suivent :

$$\begin{cases} \bar{\Omega}_r \rightarrow \bar{\Omega}_e \times \mathbb{R} \\ y \mapsto [x_i(y)]_{i=1,2,3} = [\vec{\tilde{N}}^t(y) \vec{X}_{ie}]_{i=1,2,3} \end{cases}, \quad \text{avec } \vec{X}_{ie} = \begin{bmatrix} X_{in_g(e,0)} \\ X_{in_g(e,1)} \\ X_{in_g(e,2)} \end{bmatrix} \text{ pour } \begin{cases} i = 1, 2, 3 \\ e = 2, 3 \end{cases} .$$

1. Exprimez $J_1(u_5)$ en fonction des 3 triplets élémentaires $(\vec{\tau}_e, \vec{F}_e, K_e)$, sachant que

$$K_e = \int_{\Omega_e} \mu [\vec{\nabla} \vec{N}_e^t(x)]^t [\vec{\nabla} \vec{N}_e^t(x)] d\Omega$$

$$\vec{F}_e = \int_{\Omega_e} \frac{c}{L} \left(1 - \frac{x_1}{L}\right) \vec{N}_e(x) d\Omega - \int_{(\Gamma \setminus \Gamma_1) \cap \bar{\Omega}_e} \frac{c x_2^2}{2Ll(x)} \vec{N}_e(x) d\Gamma$$

2. Calculez chaque couple (K_e, \vec{F}_e) , en effectuant cependant les calculs à partir du triangle de référence $\bar{\Omega}_r$ si $e = 2$ et 3 (voir les indications d'analyse et d'intégration données ci-après).

3. Donnez les expressions de la matrice $K = [K_{n_g n'_g}]_{n_g, n'_g=1, \dots, 6} \in \mathcal{M}_6$ et du vecteur $\vec{F} = [F_{n_g}]_{n_g=1, \dots, 6} \in \mathbb{R}^6$ qui sont associés au vecteur des paramètres nodaux $\vec{\tau} = [\tau_{n_g}]_{n_g=1, \dots, 6} \in \mathbb{R}^6$ dans $J_1(u_5) = \vec{\tau}^t \left[\frac{1}{2} K \vec{\tau} - \vec{F} \right]$.

4. Déterminez ce vecteur $\vec{\tau}$, puis comparez les valeurs de u_5 et u_{ex} aux 6 noeuds A_i du maillage et au barycentre $x = (L/3, L/3)$ du triangle $\bar{\Omega}$.

5. Estimez la valeur des forces de réaction (*i.e.* les valeurs limites de $\mu L \left(\frac{\partial u_{ex}}{\partial n} \right)_{/\Gamma_1}(x)$) aux noeuds $x \in \{A_1, A_2, A_5\}$ avec des multiplicateurs de LAGRANGE d'approximation $\{\lambda_5(A_i)\}_{i=1,2,5}$; puis avec les valeurs limites des flux $\mu L \left(\frac{\partial u_5}{\partial n} \right)_{/\Gamma_1}(x)$.

★ Indications et formules d'intégration :

- L'emploi de transformations géométriques (*planes*) implique ceux du vecteur gradient (2D) $\vec{\nabla} = \left[\frac{\partial}{\partial y_i} \right]_{i=1,2}$ et des matrices jacobiennes (2D) $\left[\frac{\partial x}{\partial y} \right] = \left[\frac{\partial x_j}{\partial y_i}(y) \right]_{i,j=1,2} = \vec{\nabla}[x_j]_{j=1,2}^t$ (qui sont *inversibles* si les transformations sont *régulières*) dans :

1°)- le vecteur gradient sur $\bar{\Omega}$ (et $\bar{\Omega}_e$), car

$$\begin{aligned} \vec{\nabla} &\stackrel{3D}{=} \left[\frac{\partial}{\partial x_i} \right]_{i=1,2,3} = \left[\frac{\partial y_j}{\partial x_i}(y) \right]_{\substack{i=1,2,3 \\ j=1,2}} \left[\frac{\partial}{\partial y_j} \right]_{j=1,2} \\ &\stackrel{2D}{\sim} \left[\frac{\partial}{\partial x_i} \right]_{i=1,2} = \left[\frac{\partial y_j}{\partial x_i}(y) \right]_{i,j=1,2} \left[\frac{\partial}{\partial y_j} \right]_{j=1,2} = \left[\frac{\partial x}{\partial y} \right]^{-1} \vec{\nabla} \end{aligned}$$

2°)- la mesure surfacique $d\Omega = \left\| \underbrace{d\vec{\Omega}(x)}_{\substack{\text{surface plane infinitésimale,} \\ \text{tangente à } \Omega(\text{ou/et à } \Omega_e) \text{ en } x(y)}} \right\| = \sqrt{d\vec{\Omega} \bullet d\vec{\Omega}} > 0$, car

$$\begin{aligned} d\Omega &\stackrel{3D}{=} \left\| \underbrace{\left(\frac{\partial}{\partial y_1} [x_i]_{i=1,2,3} dy_1 \right)}_{\text{vecteur tangent à } \Omega} \wedge \underbrace{\left(\frac{\partial}{\partial y_2} [x_i]_{i=1,2,3} dy_2 \right)}_{\text{vecteur tangent à } \Omega} \right\| = \left\| \left(\frac{\partial}{\partial y_1} [x_i]_{i=1,2,3} \right) \wedge \left(\frac{\partial}{\partial y_2} [x_i]_{i=1,2,3} \right) \right\| dy_1 dy_2 \\ &\stackrel{2D}{\sim} \left\| \left(\frac{\partial}{\partial y_1} [x_i]_{i=1,2} \right) \wedge \left(\frac{\partial}{\partial y_2} [x_i]_{i=1,2} \right) \right\| dy_1 dy_2 = \left| \det \left(\left[\frac{\partial x}{\partial y} \right] \right) \right| dy_1 dy_2 \end{aligned}$$

3°)- la mesure curviligne $d\Gamma = \left\| \underbrace{d\vec{\Gamma}(x)}_{\substack{\text{vecteur infinitésimal, tangent} \\ \text{à } \Gamma(\text{ou/et à } \Gamma_e) \text{ en } x(y)}} \right\| = \sqrt{d\vec{\Gamma} \bullet d\vec{\Gamma}} > 0$, car

$$d\Gamma \stackrel{3D}{=} \left\| \left(\frac{d}{ds} [x_i(s)]_{i=1,2,3} \right) \right\| ds = \sqrt{\sum_{i=1}^3 \left(\frac{dx_i}{ds} \right)^2} ds \stackrel{2D}{\sim} \left\| \left(\frac{d}{ds} [x_i(s)]_{i=1,2} \right) \right\| ds = \sqrt{\sum_{i=1}^2 \left(\frac{dx_i}{ds} \right)^2} ds$$

où $s \in [0, 1]$ est celui des paramètres y_1 ou y_2 qui permet de décrire la portion de bord $\Gamma \cap \bar{\Omega}_e$ considérée.

- On rappelle que la quadrature (2D) de “GAUSS-LEGENDRE d'ordre 3” suivante

$$\int_0^1 \int_0^{1-y_1} f(y) dy_2 dy_1 \approx \frac{1}{6} \left[f\left(0, \frac{1}{2}\right) + f\left(\frac{1}{2}, \frac{1}{2}\right) + f\left(\frac{1}{2}, 0\right) \right]$$

est exacte si f est un polynôme quadratique par rapport à chacune des 2 variables y_1 et y_2 sur le triangle de référence. Les pseudo-quadratures (2D) ci-dessous

$$\int_0^{L_1} \int_0^{L_2} f(x) dx_2 dx_1 \approx \begin{cases} \frac{L_1 L_2}{6} \left[f\left(\frac{L_1}{2}, 0\right) + 4f\left(\frac{L_1}{2}, \frac{L_2}{2}\right) + f\left(\frac{L_1}{2}, L_2\right) \right] & \text{(cas 1)} \\ \frac{L_1 L_2}{6} \left[f\left(0, \frac{L_2}{2}\right) + 4f\left(\frac{L_1}{2}, \frac{L_2}{2}\right) + f\left(L_1, \frac{L_2}{2}\right) \right] & \text{(cas 2)} \end{cases}$$

résultent des combinaisons des quadratures (1D) de SIMPSON et du RECTANGLE; elles sont donc respectivement *exactes* selon que f est un *polynôme affine en x_1 et cubique en x_2* (cas 1), ou inversement, *cubique en x_1 et affine en x_2* (cas 2).

Solutions du TD n°1 : Formulations Intégrales

1. (a) • Cette F.I. forte est une forme simplifiée de la F.I. forte suivante qui est plus générale:

“ Trouver une (et même la) fonction de température T qui vérifie

$$0 = \int_0^L \phi(x) \left[k \frac{d^2 T}{dx^2}(x) + c_o - c_1 x \right] dx + \tilde{\phi}(L) \left[h - k \frac{dT}{dx}(L) \right] + \tilde{\phi}(0) [T_o - T(0)]$$

pour toute fonction de pondération ϕ suffisamment régulière sur $\Omega =]0, L[$,
et toute autre fonction de pondération $\tilde{\phi}$ définie sur la frontière $\Gamma = \{0, L\}$ ”.

- La forme faible de cette F.I. se déduit en effectuant une intégration par parties, et est :

“ Trouver la fonction de température T qui vérifie

$$0 = - \int_0^L \left\{ k \frac{d\phi}{dx}(x) \frac{dT}{dx}(x) + [c_o - c_1 x] \phi(x) \right\} dx + h \tilde{\phi}(L) + k \left[\phi(L) - \tilde{\phi}(L) \right] \frac{dT}{dx}(L)$$

$$- k \phi(0) \frac{dT}{dx}(0) + \tilde{\phi}(0) [T_o - T(0)]$$

pour toute fonction de pondération ϕ suffisamment régulière sur $\bar{\Omega} = [0, L]$,
et toute autre fonction de pondération $\tilde{\phi}$ définie sur la frontière $\Gamma = \{0, L\}$ ”.

- (b) Dans le cas simplifié, nous obtenons similairement:

“ Trouver la fonction de température T qui vérifie

$$0 = - \int_0^L \left\{ k \frac{d\phi}{dx}(x) \frac{dT}{dx}(x) + [c_o - c_1 x] \phi(x) \right\} dx + h \phi(L) + \phi(0) \left[T_o - T(0) - k \frac{dT}{dx}(0) \right]$$

pour toute fonction de pondération ϕ suffisamment régulière sur $\bar{\Omega}$ ”.

2. Approximations polynômiales, “thermiquement non-admissibles”.

- (a) La méthode de GALERKIN revient à substituer dans ces F.I. le couple (T, ϕ) par celui qui caractérise l'approximation numérique $(T_m = \vec{N}^t \vec{\tau}, \vec{N})$. Nous obtenons alors comme équation matricielle $K \vec{\tau} = \vec{F}$, avec

$$\begin{aligned} \mathcal{M}_{m+1} \ni K &= - \int_0^L k \vec{N}(x) \frac{d^2 \vec{N}^t}{dx^2}(x) dx + k \vec{N}(L) \frac{d \vec{N}^t}{dx}(L) + \vec{N}(0) \vec{N}^t(0) \\ &= - \left[\int_0^L k N_i(x) \frac{d^2 N_j}{dx^2}(x) dx + k N_i(L) \frac{d N_j}{dx}(L) + N_i(0) N_j(0) \right]_{i,j=0,\dots,m} \end{aligned}$$

en **F.I. forte**, ou

$$\begin{aligned} \mathcal{M}_{m+1} \ni K &= \int_0^L k \frac{d \vec{N}}{dx}(x) \frac{d \vec{N}^t}{dx}(x) dx + \vec{N}(0) \left[\vec{N}^t(0) + k \frac{d \vec{N}^t}{dx}(0) \right] \\ &= \left[\int_0^L k \frac{d N_i}{dx}(x) \frac{d N_j}{dx}(x) dx + N_i(0) \left[N_j(0) + k \frac{d N_j}{dx}(0) \right] \right]_{i,j=0,\dots,m} \end{aligned}$$

en **F.I. faible**, et, pour ces deux cas

$$\begin{aligned} \mathbb{R}^{m+1} \ni \vec{F} &= \int_0^L [c_o - c_1 x] \vec{N}(x) dx + h \vec{N}(L) + T_o \vec{N}(0) \\ &= \left[\int_0^L [c_o - c_1 x] N_i(x) dx + h N_i(L) + T_o N_i(0) \right]_{i=0,\dots,m} \end{aligned}$$

(b) Calcul de T_1 par la F.I. faible :

- Commençons tout d'abord par la matrice K . Nous avons

$$\begin{aligned} \frac{d\vec{N}}{dx}(x) &= \frac{d}{dx} \begin{bmatrix} N_0(x) \\ N_1(x) \end{bmatrix} = \begin{bmatrix} \frac{dN_0}{dx}(x) \\ \frac{dN_1}{dx}(x) \end{bmatrix} = \frac{1}{L} \begin{bmatrix} -1 \\ 1 \end{bmatrix} \\ \frac{d\vec{N}}{dx}(x) \frac{d\vec{N}^t}{dx}(x) &= \begin{bmatrix} \frac{dN_0}{dx}(x) \\ \frac{dN_1}{dx}(x) \end{bmatrix} \begin{bmatrix} \frac{dN_0}{dx}(x) & \frac{dN_1}{dx}(x) \end{bmatrix} = \begin{bmatrix} \frac{dN_0}{dx}(x) \frac{dN_0}{dx}(x) & \frac{dN_0}{dx}(x) \frac{dN_1}{dx}(x) \\ \frac{dN_1}{dx}(x) \frac{dN_0}{dx}(x) & \frac{dN_1}{dx}(x) \frac{dN_1}{dx}(x) \end{bmatrix} \\ &= \frac{1}{L^2} \begin{bmatrix} -1 \\ 1 \end{bmatrix} \begin{bmatrix} -1 & 1 \end{bmatrix} = \frac{1}{L^2} \begin{bmatrix} 1 & -1 \\ -1 & 1 \end{bmatrix} \end{aligned}$$

L'intégration de cette matrice *constante* (et symétrique) sur le domaine Ω équivaut à multiplier cette même matrice par la longueur L du segment Ω , de sorte que

$$\int_0^L k \frac{d\vec{N}}{dx}(x) \frac{d\vec{N}^t}{dx}(x) dx = \frac{k}{L} \begin{bmatrix} 1 & -1 \\ -1 & 1 \end{bmatrix} .$$

Ceci constitue une 1^{ère} partie matricielle de K , cette dernière se complétant avec les deux matrices suivantes

$$\begin{aligned} \vec{N}(0) \vec{N}^t(0) &= \begin{bmatrix} N_0(0) \\ N_1(0) \end{bmatrix} \begin{bmatrix} N_0(0) & N_1(0) \end{bmatrix} = \begin{bmatrix} N_0(0)N_0(0) & N_0(0)N_1(0) \\ N_1(0)N_0(0) & N_1(0)N_1(0) \end{bmatrix} \\ &= \begin{bmatrix} 1 \\ 0 \end{bmatrix} \begin{bmatrix} 1 & 0 \end{bmatrix} = \begin{bmatrix} 1 & 0 \\ 0 & 0 \end{bmatrix} \\ k \vec{N}(0) \frac{d\vec{N}^t}{dx}(0) &= k \begin{bmatrix} N_0(0) \\ N_1(0) \end{bmatrix} \begin{bmatrix} \frac{dN_0}{dx}(0) & \frac{dN_1}{dx}(0) \end{bmatrix} = k \begin{bmatrix} N_0(0) \frac{dN_0}{dx}(0) & N_0(0) \frac{dN_1}{dx}(0) \\ N_1(0) \frac{dN_0}{dx}(0) & N_1(0) \frac{dN_1}{dx}(0) \end{bmatrix} \\ &= \frac{k}{L} \begin{bmatrix} 1 \\ 0 \end{bmatrix} \begin{bmatrix} -1 & 1 \end{bmatrix} = \frac{k}{L} \begin{bmatrix} -1 & 1 \\ 0 & 0 \end{bmatrix} \end{aligned}$$

Finalement, il vient par addition
$$K = \begin{bmatrix} 1 & 0 \\ -\frac{k}{L} & \frac{k}{L} \end{bmatrix} .$$

- Concernant \vec{F} , la formule d'intégration de SIMPSON (et celle de GAUSS-LEGENDRE à un point d'intégration, pour les polynômes affines) permet de calculer *avec précision*

$$\int_0^L [c_0 - c_1 x] \vec{N}(x) dx = \begin{bmatrix} \int_0^L [c_0 - c_1 x] N_0(x) dx \\ \int_0^L [c_0 - c_1 x] N_1(x) dx \end{bmatrix} = \frac{c_0 L}{2} \begin{bmatrix} 1 \\ 1 \end{bmatrix} - \frac{c_1 L}{6} \begin{bmatrix} 1 \\ 2 \end{bmatrix} .$$

Nous obtenons alors avec les autres termes $\vec{F} = \begin{bmatrix} \frac{c_o L}{2} + T_o - \frac{c_1 L^2}{6} \\ \frac{c_o L}{2} + h - \frac{c_1 L^2}{3} \end{bmatrix}$.

• Puisque $\det(K) = \frac{k}{L} \neq 0$, K peut donc s'inverser pour calculer $\vec{\tau} = K^{-1}\vec{F}$.

Sa matrice inverse est $K^{-1} = \frac{[\text{Com } K]^t}{\det K} = \begin{bmatrix} 1 & 0 \\ 1 & \frac{L}{k} \end{bmatrix}$, et par conséquent

$$\vec{\tau} = \begin{bmatrix} \tau_0 \\ \tau_1 \end{bmatrix} = \begin{bmatrix} \frac{c_o L}{2} + T_o - \frac{c_1 L^2}{6} \\ \frac{c_o L}{2} + T_o - \frac{c_1 L^2}{6} + \frac{L}{k} \left(\frac{c_o L}{2} + h - \frac{c_1 L^2}{3} \right) \end{bmatrix} \equiv \begin{bmatrix} \frac{(3c_o - c_1 L)L}{6} + T_{ex}(0) \\ \frac{(3c_o - c_1 L)L}{6} + T_{ex}(L) \end{bmatrix}.$$

Nous déduisons finalement l'approximation affine recherchée en faisant

$$\begin{aligned} T_1(x) &= \vec{N}^t(x)\vec{\tau} \\ &= \left(1 - \frac{x}{L}\right) \left(\frac{c_o L}{2} + T_o - \frac{c_1 L^2}{6}\right) + \frac{x}{L} \left[\frac{c_o L}{2} + T_o - \frac{c_1 L^2}{6} + \frac{L}{k} \left(\frac{c_o L}{2} + h - \frac{c_1 L^2}{3}\right)\right] \\ &= \frac{c_o L}{2} + T_o - \frac{c_1 L^2}{6} + \frac{x}{k} \left(\frac{c_o L}{2} + h - \frac{c_1 L^2}{3}\right) \end{aligned}$$

(c) Calcul de T_2 par la F.I. forte :

• Pour calculer la matrice K , nous avons notamment besoin des résultats suivants

$$\begin{aligned} \frac{d\vec{N}^t}{dx}(x) &= \begin{bmatrix} \frac{dN_0}{dx}(x) & \frac{dN_1}{dx}(x) & \frac{dN_2}{dx}(x) \end{bmatrix} = \frac{1}{L} \begin{bmatrix} 4x & -3 & 4 - \frac{8x}{L} & \frac{4x}{L} & -1 \end{bmatrix} \\ \frac{d^2\vec{N}^t}{dx^2}(x) &= \begin{bmatrix} \frac{d^2N_0}{dx^2}(x) & \frac{d^2N_1}{dx^2}(x) & \frac{d^2N_2}{dx^2}(x) \end{bmatrix} = \frac{4}{L^2} \begin{bmatrix} 1 & -2 & 1 \end{bmatrix} \\ \int_0^L \vec{N}(x) dx &= \begin{bmatrix} \int_0^L N_0(x) dx \\ \int_0^L N_1(x) dx \\ \int_0^L N_2(x) dx \end{bmatrix} = \frac{L}{6} \begin{bmatrix} 1 \\ 1 \\ 1 \end{bmatrix} \end{aligned}$$

Ces derniers calculs d'intégration s'obtiennent, en particulier, avec la quadrature de SIMPSON car chaque composante de \vec{N} est "quadratique". Il est alors judicieux de constater que $\frac{d^2\vec{N}^t}{dx^2}$ est constant, et que par conséquent

$$\int_0^L -k \vec{N}(x) \frac{d^2\vec{N}^t}{dx^2}(x) dx = -k \left[\int_0^L \vec{N}(x) dx \right] \frac{d^2\vec{N}^t}{dx^2} = \frac{2k}{3L} \begin{bmatrix} -1 & 2 & -1 \\ -1 & 2 & -1 \\ -1 & 2 & -1 \end{bmatrix}.$$

Les deux autres parties matricielles de K s'obtiennent ensuite en faisant simplement

$$\begin{aligned}
\vec{N}(0)\vec{N}^t(0) &= \begin{bmatrix} N_0(0) \\ N_1(0) \\ N_2(0) \end{bmatrix} \begin{bmatrix} N_0(0) & N_1(0) & N_2(0) \end{bmatrix} \\
&= \begin{bmatrix} N_0(0)N_0(0) & N_0(0)N_1(0) & N_0(0)N_2(0) \\ N_1(0)N_0(0) & N_1(0)N_1(0) & N_1(0)N_2(0) \\ N_2(0)N_0(0) & N_2(0)N_1(0) & N_2(0)N_2(0) \end{bmatrix} \\
&= \begin{bmatrix} 1 \\ 0 \\ 0 \end{bmatrix} \begin{bmatrix} 1 & 0 & 0 \end{bmatrix} = \begin{bmatrix} 1 & 0 & 0 \\ 0 & 0 & 0 \\ 0 & 0 & 0 \end{bmatrix} \\
k\vec{N}(L)\frac{d\vec{N}^t}{dx}(L) &= k \begin{bmatrix} N_0(L) \\ N_1(L) \\ N_2(L) \end{bmatrix} \begin{bmatrix} \frac{dN_0}{dx}(L) & \frac{dN_1}{dx}(L) & \frac{dN_2}{dx}(L) \end{bmatrix} \\
&= k \begin{bmatrix} N_0(L)\frac{dN_0}{dx}(L) & N_0(L)\frac{dN_1}{dx}(L) & N_0(L)\frac{dN_2}{dx}(L) \\ N_1(L)\frac{dN_0}{dx}(L) & N_1(L)\frac{dN_1}{dx}(L) & N_1(L)\frac{dN_2}{dx}(L) \\ N_2(L)\frac{dN_0}{dx}(L) & N_2(L)\frac{dN_1}{dx}(L) & N_2(L)\frac{dN_2}{dx}(L) \end{bmatrix} \\
&= \frac{k}{L} \begin{bmatrix} 0 \\ 0 \\ 1 \end{bmatrix} \begin{bmatrix} 1 & -4 & 3 \end{bmatrix} = \frac{k}{L} \begin{bmatrix} 0 & 0 & 0 \\ 0 & 0 & 0 \\ 1 & -4 & 3 \end{bmatrix}
\end{aligned}$$

Il résulte alors par sommation
$$K = \begin{bmatrix} 1 - \frac{2k}{3L} & \frac{4k}{3L} & \frac{-2k}{3L} \\ \frac{-8k}{3L} & \frac{16k}{3L} & \frac{-8k}{3L} \\ \frac{k}{3L} & \frac{-8k}{3L} & \frac{7k}{3L} \end{bmatrix} .$$

Le déterminant de cette matrice est $\det K = \frac{16k^2}{3L^2} \neq 0$ et son inverse est effectivement

$$K^{-1} = \frac{[\text{Com } K]^t}{\det(K)} = \begin{bmatrix} 1 & \frac{-1}{4} & 0 \\ 1 & \frac{7L}{16k} - \frac{1}{4} & \frac{L}{2k} \\ 1 & \frac{L}{2k} - \frac{1}{4} & \frac{L}{k} \end{bmatrix} .$$

• La quadrature de SIMPSON est encore suffisamment précise pour calculer \vec{F} et donne

$$\vec{F} = \begin{bmatrix} \frac{c_o L}{6} + T_o \\ \frac{2c_o L}{3} - \frac{c_1 L^2}{3} \\ \frac{c_o L}{6} + h - \frac{c_1 L^2}{6} \end{bmatrix} .$$

- En effectuant ensuite le produit $\vec{\tau} = K^{-1}\vec{F}$, nous déduisons que

$$\vec{\tau} = \begin{bmatrix} \tau_0 \\ \tau_1 \\ \tau_2 \end{bmatrix} = \begin{bmatrix} T_o + \frac{c_1 L^2}{12} \\ T_o + \frac{c_1 L^2}{12} + \frac{L}{2k} \left(\frac{3c_o L}{4} + h - \frac{11c_1 L^2}{24} \right) \\ T_o + \frac{c_1 L^2}{12} + \frac{L}{k} \left(\frac{c_o L}{2} + h - \frac{c_1 L^2}{3} \right) \end{bmatrix} \equiv \begin{bmatrix} \frac{c_1 L^2}{12} + T_{ex}(0) \\ \frac{c_1 L^2}{12} + T_{ex}(L/2) \\ \frac{c_1 L^2}{12} + T_{ex}(L) \end{bmatrix}$$

et donc

$$\begin{aligned} T_2(x) &= \vec{N}^t(x) \vec{\tau} \\ &= \left(1 - \frac{x}{L}\right) \left(1 - \frac{2x}{L}\right) \left(T_o + \frac{c_1 L^2}{12}\right) \\ &\quad + \frac{4x}{L} \left(1 - \frac{x}{L}\right) \left[T_o + \frac{c_1 L^2}{12} + \frac{L}{2k} \left(\frac{3c_o L}{4} + h - \frac{11c_1 L^2}{24}\right)\right] \\ &\quad + \frac{x}{L} \left(\frac{2x}{L} - 1\right) \left[T_o + \frac{c_1 L^2}{12} + \frac{L}{k} \left(\frac{c_o L}{2} + h - \frac{c_1 L^2}{3}\right)\right] \\ &= T_o + \frac{c_1 L^2}{12} + \frac{x}{k} \left[c_o \left(L - \frac{x}{2}\right) + h + \frac{c_1 L}{4} \left(x - \frac{7L}{3}\right) \right] \end{aligned}$$

- (d) Du point de vue des “valeurs locales”, ces deux approximations polynômiales sont en fait très mauvaises dès lors que T_{ex} n’appartient pas à l’espace vectoriel qui est généré par les $m + 1$ fonctions de forme N_i de T_m . En effet, le polynôme T_1 est très loin d’approximer convenablement la solution exacte T_{ex} dès lors que $c_o \neq 0$ ou $c_1 \neq 0$, et ne satisfait notamment aucune des conditions imposées aux extrémités; ce constat reste également valable pour le polynôme T_2 , mais uniquement si $c_1 \neq 0$. Néanmoins, si T_{ex} appartient au contraire à l’espace vectoriel de l’une de ces approximations T_m , alors l’approximation T_m donne le résultat exact. Il est par ailleurs intéressant de noter que les valeurs de T_m et de T_{ex} sont les mêmes aux noeuds d’interpolation, à une valeur de translation près (qui vaut $\frac{c_1 L^2}{12}$). On observe en outre que l’augmentation du degré m des polynômes T_m tend à approximer au mieux, et en même temps, les valeurs exactes du champ de température et leurs variations. Nous observons notamment ceci avec les flux

$$\begin{aligned} k \frac{dT_{ex}}{dx}(x) &= h + (L - x) \left[c_o - \frac{c_1}{2} (x + L) \right] \\ k \frac{dT_1}{dx}(x) &= h + L \left(\frac{c_o}{2} - \frac{c_1 L}{3} \right) \\ k \frac{dT_2}{dx}(x) &= h - \frac{c_1 L^2}{12} + (L - x) \left[c_o - \frac{c_1 L}{2} \right] \end{aligned} \quad \forall x \in \bar{\Omega} = [0, L] .$$

3. Approximations polynômiales, "thermiquement admissibles".

- (a) L'application de la méthode de GALERKIN avec le nouveau couple d'approximation numérique $(T_m(x) = T_o + \vec{N}^t(x) \vec{\tau}, \vec{N})$ fournit comme nouvelle équation matricielle $\check{K} \vec{\tau} = \check{F}$, avec

$$\begin{aligned} \mathcal{M}_m \ni \check{K} &= - \int_0^L k \vec{N}(x) \frac{d^2 \vec{N}^t}{dx^2}(x) dx + k \vec{N}(L) \frac{d \vec{N}^t}{dx}(L) + \vec{N}(0) \vec{N}^t(0) \\ &= \left[- \int_0^L k N_i(x) \frac{d^2 N_j}{dx^2}(x) dx + k N_i(L) \frac{d N_j}{dx}(L) + N_i(0) N_j(0) \right]_{i,j=1,\dots,m} \end{aligned}$$

en **F.I. forte**, ou

$$\begin{aligned} \mathcal{M}_m \ni \check{K} &= \int_0^L k \frac{d \vec{N}}{dx}(x) \frac{d \vec{N}^t}{dx}(x) dx + \vec{N}(0) \left[\vec{N}^t(0) + k \frac{d \vec{N}^t}{dx}(0) \right] \\ &= \left[\int_0^L k \frac{d N_i}{dx}(x) \frac{d N_j}{dx}(x) dx + N_i(0) \left[N_j(0) + k \frac{d N_j}{dx}(0) \right] \right]_{i,j=1,\dots,m} \end{aligned}$$

en **F.I. faible**, et, pour ces cas

$$\mathbb{R}^m \ni \check{F} = \int_0^L [c_o - c_1 x] \vec{N}(x) dx + h \vec{N}(L) = \left[\int_0^L [c_o - c_1 x] N_i(x) dx + h N_i(L) \right]_{i=1,\dots,m}$$

On peut noter alors qu'il ne sera pas nécessaire de refaire tous les calculs car

$(\check{K}, \vec{\tau}, \check{F})$ se déduit simplement de $(K, \vec{\tau}, \vec{F})$:

- 1°- en retranchant à \vec{F} le produit $\vec{N}(0) T_o$;
- 2°- puis en supprimant la ligne et la colonne de K , et, la composante de \vec{F} , où intervient N_o ; et enfin la composante (τ_o) de $\vec{\tau}$ qui était multipliée par la fonction N_o dans l'approximation non-cinématiquement admissible T_m .

- (b) Calcul de T_1 par la F.I. faible :

Si nous appliquons la précédente remarque, nous avons donc qu'une simple équation scalaire à résoudre : $\check{K} \tau_1 = \check{F}$, avec $\check{K} = \frac{k}{L}$ et $\check{F} = \frac{c_o L}{2} + h - \frac{c_1 L^2}{3}$.

Comme l'inversion de cette équation donne $\tau_1 = \frac{L}{k} \left(\frac{c_o L}{2} + h - \frac{c_1 L^2}{3} \right) = T_{ex}(L)$, nous déduisons que l'approximation affine recherchée est finalement telle que :

$$T_1(x) = T_o + N_1(x) \tau_1 = T_o + \frac{x}{k} \left(\frac{c_o L}{2} + h - \frac{c_1 L^2}{3} \right).$$

- (c) Calcul de T_2 par la F.I. forte :

De même, il vient ici

$$\check{K} = \begin{bmatrix} \frac{16k}{3L} & \frac{-8k}{3L} \\ -8k & 7k \\ \frac{3k}{3L} & \frac{7k}{3L} \end{bmatrix} \quad (\text{avec } \det(K) = \frac{16k^2}{3L^2} \neq 0) \quad \text{et} \quad \check{F} = \begin{bmatrix} \frac{2c_o L}{3} - \frac{c_1 L^2}{3} \\ \frac{c_o L}{6} + h - \frac{c_1 L^2}{6} \end{bmatrix}.$$

On trouve alors très facilement $\check{K}^{-1} = \begin{bmatrix} \frac{7L}{16k} & \frac{L}{2k} \\ \frac{L}{2k} & \frac{L}{k} \end{bmatrix}$, et puisque

$$\vec{\tau} = \begin{bmatrix} \tau_1 \\ \tau_2 \end{bmatrix} = \check{K}^{-1} \vec{F} = \begin{bmatrix} \frac{L}{2k} \left(\frac{3c_o L}{4} + h - \frac{11c_1 L^2}{24} \right) \\ \frac{L}{k} \left(\frac{c_o L}{2} + h - \frac{c_1 L^2}{3} \right) \end{bmatrix} \equiv \begin{bmatrix} T_{ex}(L/2) \\ T_{ex}(L) \end{bmatrix}$$

nous concluons que l'approximation quadratique recherchée est telle que :

$$\begin{aligned} T_2(x) &= T_o + \vec{N}^t(x) \vec{\tau} \\ &= T_o + \frac{4x}{L} \left(1 - \frac{x}{L} \right) \left[\frac{L}{2k} \left(\frac{3c_o L}{4} + h - \frac{11c_1 L^2}{24} \right) \right] \\ &\quad + \frac{x}{L} \left(\frac{2x}{L} - 1 \right) \left[\frac{L}{k} \left(\frac{c_o L}{2} + h - \frac{c_1 L^2}{3} \right) \right] \\ &= T_o + \frac{x}{k} \left[c_o \left(L - \frac{x}{2} \right) + h + \frac{c_1}{4} \left(x - \frac{7L}{3} \right) \right] \end{aligned}$$

- (d) Ces nouvelles approximations présentent une importante amélioration car, en imposant la condition d'admissibilité "thermique" $T_m(0) = T_o$, elles permettent au moins de retrouver les valeurs exactes du champ de température aux $m + 1$ noeuds d'interpolation. L'approximation polynômiale de plus haut degré (*i.e.* ici T_2) est encore celle qui permet d'approcher le mieux, et simultanément, les valeurs de T_{ex} et les valeurs du flux $k \frac{T_{ex}}{dx}$, notamment au point $x = L$ où ce flux est imposé.

Problème 2 : Plaque élastique chargée perpendiculairement à son plan moyen de repos.

1. La formule de GREEN permet d'établir l'équation intégrale faible qui suit :

$$\begin{aligned}
0 &= \int_{\Omega} \phi(x) \left[\mu \Delta u(x) + \frac{c_2}{L} \left(1 - \frac{x_1}{L} \right) \right] d\Omega - \int_{\Gamma \setminus \Gamma_1} \phi(x) \left[\mu \frac{\partial u}{\partial n}(x) + \frac{c x_2^2}{2L\ell(x)} \right] d\Gamma \\
&\quad - \int_{\Gamma_1} \phi(x) [u(x) - U] d\Gamma \\
&= \int_{\Omega} \left\{ -\mu [\vec{\nabla} \phi(x)] \bullet [\vec{\nabla} u(x)] + \frac{c}{L} \left(1 - \frac{x_1}{L} \right) \phi(x) \right\} d\Omega \\
&\quad - \int_{\Gamma \setminus \Gamma_1} \frac{c x_2^2}{2L\ell(x)} \phi(x) d\Gamma - \int_{\Gamma_1} \phi(x) \left[u(x) - \mu \frac{\partial u}{\partial n}(x) - U \right] d\Gamma \\
&= \int_{\Omega} \left\{ -\mu [\vec{\nabla} \phi(x)]^t [\vec{\nabla} u(x)] + \frac{c}{L} \left(1 - \frac{x_1}{L} \right) \phi(x) \right\} d\Omega \\
&\quad - \int_{\Gamma \setminus \Gamma_1} \frac{c x_2^2}{2L\ell(x)} \phi(x) d\Gamma - \int_{\Gamma_1} \phi(x) \left[u(x) - \mu \vec{n}^t(x) \vec{\nabla} u(x) - U \right] d\Gamma
\end{aligned}$$

2. Si nous remplaçons dans cette dernière équation (u, ϕ) par $(u_3 = \vec{N}^t \vec{\tau}, \vec{N})$, nous obtenons alors comme équation matricielle $K \vec{\tau} = \vec{F}$, avec

$$\begin{aligned}
K &= \int_{\Omega} \mu [\vec{\nabla} \vec{N}^t(x)]^t [\vec{\nabla} \vec{N}^t(x)] d\Omega + \int_{\Gamma_1} \vec{N}(x) \left\{ \vec{N}^t(x) - \mu \vec{n}^t(x) [\vec{\nabla} \vec{N}^t(x)] \right\} d\Gamma \\
&= \left[\int_{\Omega} \mu [\vec{\nabla} N_i(x)]^t [\vec{\nabla} N_j(x)] d\Omega + \int_{\Gamma_1} N_i(x) \left\{ N_j(x) - \mu \vec{n}^t(x) [\vec{\nabla} N_j(x)] \right\} d\Gamma \right]_{i,j=1,2,3}, \\
\vec{F} &= \int_{\Omega} \frac{c}{L} \left(1 - \frac{x_1}{L} \right) \vec{N}(x) d\Omega - \int_{\Gamma \setminus \Gamma_1} \frac{c x_2^2}{2L\ell(x)} \vec{N}(x) d\Gamma + \int_{\Gamma_1} U \vec{N}(x) d\Gamma \\
&= \left[\int_{\Omega} \frac{c}{L} \left(1 - \frac{x_1}{L} \right) N_i(x) d\Omega - \int_{\Gamma \setminus \Gamma_1} \frac{c x_2^2}{2L\ell(x)} N_i(x) d\Gamma + \int_{\Gamma_1} U N_i(x) d\Gamma \right]_{i=1,2,3}
\end{aligned}$$

3. a) Calculs sur Ω (avec les notations 2D)

- Le 1^{er} terme de la matrice de rigidité K nécessite de connaître dans un premier temps

$$\begin{aligned}
\vec{\nabla} \vec{N}^t(x) &= \begin{bmatrix} \frac{\partial}{\partial x_1} \\ \frac{\partial}{\partial x_2} \end{bmatrix} [N_1(x) \ N_2(x) \ N_3(x)] = [\vec{\nabla} N_1(x) \ \vec{\nabla} N_2(x) \ \vec{\nabla} N_3(x)] \\
&= \begin{bmatrix} \frac{\partial N_1}{\partial x_1}(x) & \frac{\partial N_2}{\partial x_1}(x) & \frac{\partial N_3}{\partial x_1}(x) \\ \frac{\partial N_1}{\partial x_2}(x) & \frac{\partial N_2}{\partial x_2}(x) & \frac{\partial N_3}{\partial x_2}(x) \end{bmatrix} = \frac{1}{L} \begin{bmatrix} -1 & 1 & 0 \\ -1 & 0 & 1 \end{bmatrix}
\end{aligned}$$

$$\begin{aligned}
[\vec{\nabla} \vec{N}^t(x)]^t [\vec{\nabla} \vec{N}^t(x)] &= \begin{bmatrix} \frac{\partial N_1}{\partial x_1}(x) & \frac{\partial N_1}{\partial x_2}(x) \\ \frac{\partial N_2}{\partial x_1}(x) & \frac{\partial N_2}{\partial x_2}(x) \\ \frac{\partial N_3}{\partial x_1}(x) & \frac{\partial N_3}{\partial x_2}(x) \end{bmatrix} \begin{bmatrix} \frac{\partial N_1}{\partial x_1}(x) & \frac{\partial N_2}{\partial x_1}(x) & \frac{\partial N_3}{\partial x_1}(x) \\ \frac{\partial N_1}{\partial x_2}(x) & \frac{\partial N_2}{\partial x_2}(x) & \frac{\partial N_3}{\partial x_2}(x) \end{bmatrix} \\
&= \begin{bmatrix} \vec{\nabla} N_1(x) \bullet \vec{\nabla} N_1(x) & \vec{\nabla} N_1(x) \bullet \vec{\nabla} N_2(x) & \vec{\nabla} N_1(x) \bullet \vec{\nabla} N_3(x) \\ \vec{\nabla} N_2(x) \bullet \vec{\nabla} N_1(x) & \vec{\nabla} N_2(x) \bullet \vec{\nabla} N_2(x) & \vec{\nabla} N_2(x) \bullet \vec{\nabla} N_3(x) \\ \vec{\nabla} N_3(x) \bullet \vec{\nabla} N_1(x) & \vec{\nabla} N_3(x) \bullet \vec{\nabla} N_2(x) & \vec{\nabla} N_3(x) \bullet \vec{\nabla} N_3(x) \end{bmatrix} \\
&= \frac{1}{L^2} \begin{bmatrix} -1 & -1 \\ 1 & 0 \\ 0 & 1 \end{bmatrix} \begin{bmatrix} -1 & 1 & 0 \\ -1 & 0 & 1 \end{bmatrix} = \frac{1}{L^2} \begin{bmatrix} 2 & -1 & -1 \\ -1 & 1 & 0 \\ -1 & 0 & 1 \end{bmatrix}.
\end{aligned}$$

Cette matrice étant constante, son intégration (*i.e.* l'intégration de chacun des composants) sur le domaine Ω équivaut à multiplier cette même matrice par l'aire $\frac{L^2}{2}$ du triangle Ω , et donc:

$$\int_{\Omega} \mu [\vec{\nabla} \vec{N}^t(x)]^t [\vec{\nabla} \vec{N}^t(x)] d\Omega = \int_0^L \int_0^{L-x_1} \mu [\vec{\nabla} \vec{N}^t(x)]^t [\vec{\nabla} \vec{N}^t(x)] dx_2 dx_1 = \frac{\mu}{2} \begin{bmatrix} 2 & -1 & -1 \\ -1 & 1 & 0 \\ -1 & 0 & 1 \end{bmatrix}$$

On obtient le 1^{er} terme de la matrice-colonne des forces \vec{F} en utilisant la quadrature de GAUSS-LEGENDRE qui est d'ordre 3 sur le triangle Ω ,

$$\int_{\Omega} \frac{c}{L} \left(1 - \frac{x_1}{L}\right) \vec{N}(x) d\Omega = \int_0^L \int_0^{L-x_1} \frac{c}{L} \left(1 - \frac{x_1}{L}\right) \vec{N}(x) dx_1 dx_2 = \frac{cL}{24} \begin{bmatrix} 3 \\ 2 \\ 3 \end{bmatrix}$$

b) Calculs sur Γ (avec les notations 2D)

Pour respecter l'orientation de Γ , le calcul des intégrales curvilignes doivent s'effectuer avec

$$\begin{aligned}
\int_{\Gamma_1} f(x) d\Gamma &\equiv \int_0^L f(x_1, 0) dx_1 ; \\
\int_{\Gamma_2} f(x) d\Gamma &\equiv \int_0^L f(L - x_2, x_2) \sqrt{2} dx_2 \equiv \int_0^L f(x_1, L - x_1) \sqrt{2} dx_1 ; \\
\int_{\Gamma_3} f(x) d\Gamma &\equiv \int_L^0 f(0, x_2) dx_2 \equiv \int_0^L f(0, L - x_2) dx_2 .
\end{aligned}$$

• Pour obtenir les 2^{ième} et 3^{ième} termes de K , il est nécessaire d'évaluer d'abord les termes

suivants avec $x = (x_1, 0) \in \Gamma_1$:

$$\begin{aligned}\vec{n}(x) &= \begin{bmatrix} n_1(x) \\ n_2(x) \end{bmatrix} = \begin{bmatrix} 0 \\ -1 \end{bmatrix}, \\ [\vec{\nabla} \vec{N}^t](x) &= \begin{bmatrix} \vec{\nabla} N_1(x) & \vec{\nabla} N_2(x) & \vec{\nabla} N_3(x) \end{bmatrix} = \frac{1}{L} \begin{bmatrix} -1 & 1 & 0 \\ -1 & 0 & 1 \end{bmatrix} \text{ (différentier d'abord !)}, \\ \vec{N}(x) &= \begin{bmatrix} N_1(x) \\ N_2(x) \\ N_3(x) \end{bmatrix} = \begin{bmatrix} 1 - \frac{x_1}{L} \\ \frac{x_1}{L} \\ 0 \end{bmatrix}, \\ \vec{n}^t(x) [\vec{\nabla} \vec{N}^t(x)] &= \begin{bmatrix} n_1(x) & n_2(x) \end{bmatrix} \begin{bmatrix} \frac{\partial N_1}{\partial x_1}(x) & \frac{\partial N_2}{\partial x_1}(x) & \frac{\partial N_3}{\partial x_1}(x) \\ \frac{\partial N_1}{\partial x_2}(x) & \frac{\partial N_2}{\partial x_2}(x) & \frac{\partial N_3}{\partial x_2}(x) \end{bmatrix} \\ &= \begin{bmatrix} \vec{n} \bullet \vec{\nabla} N_1(x) & \vec{n} \bullet \vec{\nabla} N_2(x) & \vec{n} \bullet \vec{\nabla} N_3(x) \end{bmatrix} \\ &= \begin{bmatrix} 0 & -1 \end{bmatrix} \frac{1}{L} \begin{bmatrix} -1 & 1 & 0 \\ -1 & 0 & 1 \end{bmatrix} = \frac{1}{L} \begin{bmatrix} 1 & 0 & -1 \end{bmatrix}.\end{aligned}$$

Comme les composantes de la matrice suivante sont quadratiques

$$\vec{N}(x) \vec{N}^t(x) = \begin{bmatrix} N_1(x) \\ N_2(x) \\ N_3(x) \end{bmatrix} \begin{bmatrix} N_1(x) & N_2(x) & N_3(x) \end{bmatrix} = \begin{bmatrix} \left(1 - \frac{x_1}{L}\right)^2 & \left(1 - \frac{x_1}{L}\right) \frac{x_1}{L} & 0 \\ \frac{x_1}{L} \left(1 - \frac{x_1}{L}\right) & \frac{x_1^2}{L^2} & 0 \\ 0 & 0 & 0 \end{bmatrix}$$

la quadrature (1D) de SIMPSON suffit pour obtenir exactement

$$\int_{\Gamma_1} \vec{N}(x) \vec{N}^t(x) d\Gamma = \int_0^L \vec{N}(x) \vec{N}^t(x) dx_1 = \frac{L}{6} \begin{bmatrix} 2 & 1 & 0 \\ 1 & 2 & 0 \\ 0 & 0 & 0 \end{bmatrix}.$$

Concernant les composantes affines de la matrice suivante

$$\begin{aligned}
\vec{N}(x) \vec{n}^t(x) [\vec{\nabla} \vec{N}^t(x)] &= \begin{bmatrix} N_1(x) \\ N_2(x) \\ N_3(x) \end{bmatrix} \begin{bmatrix} \vec{n} \bullet \vec{\nabla} N_1(x) & \vec{n} \bullet \vec{\nabla} N_2(x) & \vec{n} \bullet \vec{\nabla} N_3(x) \end{bmatrix} \\
&= \begin{bmatrix} N_1(x) \vec{n} \bullet \vec{\nabla} N_1(x) & N_1(x) \vec{n} \bullet \vec{\nabla} N_2(x) & N_1(x) \vec{n} \bullet \vec{\nabla} N_3(x) \\ N_2(x) \vec{n} \bullet \vec{\nabla} N_1(x) & N_2(x) \vec{n} \bullet \vec{\nabla} N_2(x) & N_2(x) \vec{n} \bullet \vec{\nabla} N_3(x) \\ N_3(x) \vec{n} \bullet \vec{\nabla} N_1(x) & N_3(x) \vec{n} \bullet \vec{\nabla} N_2(x) & N_3(x) \vec{n} \bullet \vec{\nabla} N_3(x) \end{bmatrix} \\
&= \begin{bmatrix} 1 - \frac{x_1}{L} \\ \frac{x_1}{L} \\ 0 \end{bmatrix} \frac{1}{L} \begin{bmatrix} 1 & 0 & -1 \end{bmatrix} = \frac{1}{L} \begin{bmatrix} 1 - \frac{x_1}{L} & 0 & \frac{x_1}{L} - 1 \\ \frac{x_1}{L} & 0 & -\frac{x_1}{L} \\ 0 & 0 & 0 \end{bmatrix}
\end{aligned}$$

nous pouvons même utiliser la quadrature (1D) du RECTANGLE pour obtenir

$$\int_{\Gamma_1} -\mu \vec{N}(x) \vec{n}^t(x) [\vec{\nabla} \vec{N}^t(x)] d\Gamma = \int_0^L -\mu \vec{N}(x) \vec{n}^t(x) [\vec{\nabla} \vec{N}^t(x)] dx_1 = \frac{-\mu}{2L} \begin{bmatrix} 1 & 0 & -1 \\ 1 & 0 & -1 \\ 0 & 0 & 0 \end{bmatrix}.$$

La matrice de rigidité apparaît alors en additionnant les précédents résultats intermédiaires,

$$K = \begin{bmatrix} \frac{L}{3} + \frac{\mu(2L-1)}{2L} & \frac{L}{6} - \frac{\mu}{2} & \frac{\mu(1-L)}{2L} \\ \frac{L}{6} - \frac{\mu(L+1)}{2L} & \frac{L}{3} + \frac{\mu}{2} & \frac{\mu}{2L} \\ -\frac{\mu}{2} & 0 & \frac{\mu}{2} \end{bmatrix}.$$

• Concernant les termes de \vec{F} , nous avons

$$\begin{aligned}
\int_{\Gamma_1} U \vec{N}(x) d\Gamma &= \int_0^L U \begin{bmatrix} 1 - \frac{x_1}{L} \\ \frac{x_1}{L} \\ 0 \end{bmatrix} dx_1 = \frac{UL}{2} \begin{bmatrix} 1 \\ 1 \\ 0 \end{bmatrix}, \\
\int_{\Gamma_2} -\frac{cx_2^2}{2L\ell(x)} \vec{N}(x) d\Gamma &= \int_0^L \frac{-cx_2^2}{2\sqrt{2}L^2} \begin{bmatrix} 0 \\ 1 - \frac{x_2}{L} \\ \frac{x_2}{L} \end{bmatrix} \sqrt{2} dx_2 = \frac{-cL}{24} \begin{bmatrix} 0 \\ 1 \\ 3 \end{bmatrix}, \\
\int_{\Gamma_3} -\frac{cx_2^2}{2L\ell(x)} \vec{N}(x) d\Gamma &= \int_0^L \frac{-c}{2} \left(1 - \frac{x_2}{L}\right)^2 \begin{bmatrix} \frac{x_2}{L} \\ 0 \\ 1 - \frac{x_2}{L} \end{bmatrix} dx_2 = \frac{-cL}{24} \begin{bmatrix} 1 \\ 0 \\ 3 \end{bmatrix}.
\end{aligned}$$

L'expression du vecteur des sollicitations extérieures est finalement $\vec{F} = \frac{L}{2} \begin{bmatrix} U + \frac{c}{6} \\ U + \frac{c}{12} \\ -\frac{c}{4} \end{bmatrix}$.

La détermination de $\vec{\tau}$ et de cette approximation non-cinématiquement admissible u_3 s'obtient alors en résolvant l'équation $K\vec{\tau} = \vec{F}$.

4. Si nous remplaçons u par $u_3 = U + N_3 \tau_3$, et, ϕ par N_3 , dans la F.I. faible, il ne viendra alors qu'une seule équation scalaire: $K_{33} \tau_3 = F_3$. Selon les précédents calculs, cette équation vaut $\frac{\mu \tau_3}{2} = \frac{-cL}{8}$, et on en déduit que $\tau_3 = \frac{-cL}{4\mu}$. L'approximation (affine, et cinématiquement admissible) est ainsi telle que $u_3(x) = U + N_3(x)\tau_3 = U - \frac{cx_2}{4\mu}$.

Cette approximation cinématiquement admissible u_3 et la solution exacte

$$u_{ex}(x) = U - \frac{cx_2^2}{2\mu L} \left(1 - \frac{x_1}{L}\right), \quad \forall x = (x_1, x_2) \in \bar{\Omega} = [0, L] \times [0, L - x_1].$$

fournissent les valeurs suivantes aux 3 sommets et au barycentre du triangle $\bar{\Omega}$

$$\begin{aligned} u_3(x_1, 0) &= U = u_{ex}(x_1, 0), \quad \forall x_1 \in \{0, L/2, L\} \quad (\text{et même } \forall x_1 \in [0, L]) \\ u_3(0, L) &= U - \frac{cL}{4\mu} > u_{ex}(0, L) = U - \frac{cL}{2\mu} \\ u_3(0, L/2) &= U - \frac{cL}{8\mu} = u_{ex}(0, L/2) \\ u_3(L/2, L/2) &= U - \frac{cL}{8\mu} < u_{ex}(L/2, L/2) = U - \frac{cL}{16\mu} \\ u_3(L/3, L/3) &= U - \frac{cL}{12\mu} < u_{ex}(L/3, L/3) = U - \frac{cL}{27\mu} \end{aligned}$$

en rappelant que les coefficients c et μ sont positifs.

Notez que les inégalités observées insinuent que l'approximation affine confère (à tort) un peu plus de rigidité à cette plaque. On ne peut donc se fier à cette approximation tant que l'erreur commise est relativement minimale.

Solutions du TD n°2: Ritz

1. Conditions nécessaires de minimisation

Soit $\phi \in V_1^o$, la première variation de la fonctionnelle J_1 s'exprime alors

$$\delta_\phi J_1(T_{ex}) = \int_0^L \left\{ k \frac{d\phi}{dx}(x) \frac{dT_{ex}}{dx}(x) - [c_o - c_1 x] \phi(x) \right\} dx - h \phi(L)$$

sous sa forme intégrale faible. Une intégration par partie et la condition de bord $\phi(0) = 0$ permettent d'obtenir la forme (intégrale) forte de cette première variation

$$\delta_\phi J_1(T_{ex}) = - \int_0^L \phi(x) \left\{ k \frac{d^2 T_{ex}}{dx^2}(x) + [c_o - c_1 x] \right\} dx + \phi(L) \left[k \frac{dT_{ex}}{dx}(L) - h \right],$$

et de déduire que celle-ci s'annule, pour toute fonction $\phi \in V_1^o$, si et seulement si nous avons

$$\text{localement les conditions suivantes: } \begin{cases} k \frac{d^2 T_{ex}}{dx^2}(x) = c_1 x - c_o, & \text{pour presque tout } x \in]0, L[; \\ \text{avec } T_{ex}(0) = T_o & \text{et } k \frac{dT_{ex}}{dx}(L) = h. \end{cases}$$

Similairement, nous obtenons successivement pour J_2 et tout $(\phi, \tilde{\phi}) \in V_2$

$$\begin{aligned} \delta_{(\phi, \tilde{\phi})} J_2(T_{ex}, \lambda_{ex}) &= \int_0^L \left\{ k \frac{d\phi}{dx}(x) \frac{dT_{ex}}{dx}(x) - [c_o - c_1 x] \phi(x) \right\} dx - h \phi(L) \\ &\quad + \lambda_{ex(0)} \phi(0) + \tilde{\phi} [T_{ex}(0) - T_o] \\ &= - \int_0^L \phi(x) \left\{ k \frac{d^2 T_{ex}}{dx^2}(x) + [c_o - c_1 x] \right\} dx + \phi(L) \left[k \frac{dT_{ex}}{dx}(L) - h \right] \\ &\quad + \phi(0) \left[\lambda_{ex(0)} - k \frac{dT_{ex}}{dx}(0) \right] + \tilde{\phi} [T_{ex}(0) - T_o]. \end{aligned}$$

Cette première variation s'annule pour tout couple $(\phi, \tilde{\phi}) \in V_2$ que si et seulement nous avons, en plus des précédentes équations locales, $\lambda_{ex(0)} = k \frac{dT_{ex}}{dx}(0)$.

2. Approximations

- (a) L'approximation recherchée est une combinaison linéaire $T_m(x) = \sum_{j=0}^m N_j(x) \tau_j = \vec{N}^t(x) \vec{\tau}$ des composantes de $\vec{N} = [N_i]_{i=0, \dots, m}$. Comme la propriété $N_i(0) = \delta_{ip}$ implique que $T_m(0) = \vec{N}^t(0) \vec{\tau} = \tau_p$, et que

$$\left[\frac{dT_m}{dx}(x) \right]^2 = \left[\frac{dT_m}{dx}(x) \right]^t \left[\frac{dT_m}{dx}(x) \right] = \left[\frac{d\vec{N}^t}{dx}(x) \vec{\tau} \right]^t \left[\frac{d\vec{N}^t}{dx}(x) \vec{\tau} \right] = \vec{\tau}^t \left[\frac{d\vec{N}}{dx}(x) \frac{d\vec{N}^t}{dx}(x) \right] \vec{\tau},$$

les énergies s'expriment donc selon

$$\begin{aligned} J_1(T_m) &= \int_0^L \frac{k}{2} \left[\frac{dT_m}{dx}(x) \right]^2 dx - \int_0^L [c_o - c_1 x] T_m(x) dx - h T_m(L) \\ &= \vec{\tau}^t \left\{ \frac{1}{2} \left[\int_0^L k \frac{d\vec{N}}{dx}(x) \frac{d\vec{N}^t}{dx}(x) dx \right] \vec{\tau} - \int_0^L [c_o - c_1 x] \vec{N}(x) dx - h \vec{N}(L) \right\} \\ &= \vec{\tau}^t \left\{ \frac{1}{2} K \vec{\tau} - \vec{F} \right\} \\ J_2(T_m, \lambda_m) &= J_1(T_m) + \lambda_{m(0)} [T_m(0) - T_o] = J_1(\vec{N}^t \vec{\tau}) + \lambda_{m(0)} [\tau_p - T_o]. \end{aligned}$$

Notez que nos problèmes discrets peuvent alors se formuler simplement comme :

$$(\mathcal{P}_1) \left\{ \begin{array}{l} \text{Trouver le vecteur de paramètres de température } \vec{\tau} \in \mathbb{R}^{m+1} \text{ qui soit tel que} \\ \tau_0 = T_o \text{ et qui minimise l'énergie potentielle } J_1(\vec{N}^t \vec{\tau}) = \vec{\tau}^t \left\{ \frac{1}{2} K \vec{\tau} - \vec{F} \right\} \end{array} \right.$$

et

$$(\mathcal{P}_2) \left\{ \begin{array}{l} \text{Trouver le couple de vecteur de paramètres de température et de multiplicateur} \\ \text{de LAGRANGE } (\vec{\tau}, \lambda_m(0)) \in \mathbb{R}^{m+2} \text{ qui minimise l'énergie potentielle} \\ J_2(\vec{N}^t \vec{\tau}, \lambda_m) = J_1(\vec{N}^t \vec{\tau}) + \lambda_m(0) [\tau_p - T_o] . \end{array} \right.$$

(b) La première variation de la fonctionnelle $J_1(T_m)$ donne tout d'abord

$$\delta_{\phi_m} J_1(T_m) = \frac{1}{2} \left\{ \vec{\varphi}^t K \vec{\tau} + \vec{\tau}^t K \vec{\varphi} \right\} - \vec{\varphi}^t \vec{F} , \quad \forall \phi_m = \vec{N}^t \vec{\varphi}$$

Cependant $\vec{\tau}^t K \vec{\varphi} = [\vec{\tau}^t K \vec{\varphi}]^t = \vec{\varphi}^t K^t \vec{\tau} \in \mathbb{R}$ (car tout scalaire est égale à sa transposée),
et même $\vec{\tau}^t K \vec{\varphi} = \vec{\varphi}^t K \vec{\tau}$ car $K = K^t$ (*i.e.* K est symétrique !). Par conséquent,

$$\begin{aligned} \delta_{\phi_m} J_1(T_m) &= \frac{1}{2} \left\{ \vec{\varphi}^t K \vec{\tau} + \vec{\varphi}^t K^t \vec{\tau} \right\} - \vec{\varphi}^t \vec{F} = \vec{\varphi}^t \left\{ K \vec{\tau} - \vec{F} \right\} \\ &\stackrel{\varphi_p=0}{\equiv} \sum_{\substack{i=0 \\ i \neq p}}^m \varphi_i \left\{ \sum_{j=0}^m K_{ij} \tau_j - F_i \right\} \equiv \sum_{\substack{i=0 \\ i \neq p}}^m \varphi_i \frac{\partial J_1}{\partial \tau_i}(\vec{N}^t \vec{\tau}) \end{aligned}$$

La condition de stationnarité requière ici que cette première variation soit nulle pour toute fonction $\vec{\varphi} \in \mathbb{R}^{m+1}$ telle que $\underline{\varphi_p = 0}$, ce qui est donc possible que si et seulement si

$$\frac{\partial J_1}{\partial \tau_i}(T_m) = \sum_{j=0}^m K_{ij} \tau_j - F_i = 0 , \quad \forall i \in \{0, \dots, m\} \setminus \{p\} .$$

Les conditions nécessaires de minimisation sont finalement :

$$\left\{ \begin{array}{l} \sum_{j=0}^m \delta_{pj} \tau_j = T_o \Leftrightarrow \tau_p = T_o \\ \sum_{j=0}^m K_{ij} \tau_j = F_i \quad , \quad \forall i \in \{0, \dots, m\} \setminus \{p\} \end{array} \right. .$$

(c) Nous pouvons attribuer à la 1^{ère} équation l'indice $i = p$. Nous constatons alors aisément que ce système d'équations est équivalent à :

i) $K' \vec{\tau} = \vec{F}'$, avec

$$\begin{aligned} K' &= [Id - \vec{N}^t(0) \vec{N}^t(0)] K + \vec{N}^t(0) \vec{N}^t(0) \equiv \left[(1 - \delta_{pi} \delta_{pj}) K_{ij} + \delta_{pi} \delta_{pj} \right]_{i,j=0, \dots, m} \\ \vec{F}' &= [Id - \vec{N}^t(0) \vec{N}^t(0)] \vec{F} + \vec{N}^t(0) T_o \equiv \left[(1 - \delta_{pi}) F_i + \delta_{pi} T_o \right]_{i=0, \dots, m} \end{aligned}$$

En pratique, si q désigne le rang de la composante qui est donnée dans $\vec{\tau}$
(*i.e.* ici $q = p + 1$ et $\tau_p = T_o$), alors on déduit (K', \vec{F}') de (K, \vec{F}) :

- 1°- en annulant, dans la $q^{\text{ème}}$ ligne de K , tous les coefficients sauf celui qui est à l'intersection avec la $q^{\text{ème}}$ colonne qui prend la valeur 1;
- 2°- et en remplaçant la $q^{\text{ème}}$ composante de \vec{F}' par la valeur T_o donnée.

ii) $K''\vec{\tau} = \vec{F}''$, avec

$$\begin{aligned} K'' &= [Id - \vec{N}(0)\vec{N}^t(0)]K[Id - \vec{N}(0)\vec{N}^t(0)] + \vec{N}(0)\vec{N}^t(0) \\ &\equiv \left[(1 - \delta_{pi})(1 - \delta_{pj})K_{ij} + \delta_{pi}\delta_{pj} \right]_{i,j=0,\dots,m} \\ \vec{F}' &= [Id - \vec{N}(0)\vec{N}^t(0)]\vec{F} + \vec{N}(0)T_o \equiv \left[(1 - \delta_{pi})(F_i - T_oK_{pi}) + \delta_{pi}T_o \right]_{i=0,\dots,m} \end{aligned}$$

(revient à simplifier les conditions données pour $i \neq p$, avec celle donnée pour $i = p$)

En pratique, si q désigne le rang de la composante qui est donnée dans $\vec{\tau}$, alors on déduit (K', \vec{F}') de (K, \vec{F}) :

- 1°- en annulant, dans les $q^{\text{ème}}$ ligne et colonne de K , tous les coefficients sauf celui qui est sur la diagonale qui prend la valeur 1;
- 2°- et en remplaçant la $q^{\text{ème}}$ composante de \vec{F}' par la valeur T_o donnée.

iii) $\begin{cases} T_m(0) = \tau_p = T_o \\ \check{K}\check{\vec{\tau}} = \check{\vec{F}} \end{cases}$, avec $\check{K}_{ij} = K_{ij}$, $\check{\tau}_j = \tau_j$, $\check{F}_i = F_i - K_{ip}T_o$, $\forall i, j \in \{0, \dots, m\} \setminus \{p\}$.
(idem, mais en écrivant partiellement les conditions sous forme matricielle)

En pratique, si q désigne le rang de la composante qui est donnée dans $\vec{\tau}$, alors on déduit $(\check{K}, \check{\vec{\tau}}, \check{\vec{F}})$ de $(K, \vec{\tau}, \vec{F})$:

- 1°- en retranchant à \vec{F} le produit $q^{\text{ème}}$ colonne de K par la valeur donnée T_o ;
- 2°- puis en supprimant, d'une part, la $q^{\text{ème}}$ ligne et la $q^{\text{ème}}$ colonne de K , et d'autre part, les $q^{\text{ème}}$ composantes de $\vec{\tau}$ et de \vec{F} .

(d) Nous obtenons pour la seconde fonctionnelle

$$\tilde{J}_1(T_m, \lambda_m) = J_1(T_m) + \lambda_m(0) [\vec{\tau}^t \vec{N}(0) - T_o] = J_1(T_m) + \lambda_m(0) [\tau_p - T_o] \quad (\text{car } N_i(0) = \delta_{ip}).$$

Celle-ci a pour première variation

$$\begin{aligned} \delta_{(\phi_m, \tilde{\varphi})} \tilde{J}_1(T_m, \lambda_m) &= \frac{1}{2} \left\{ \tilde{\varphi}^t K \tilde{\tau} + \tilde{\tau}^t K \tilde{\varphi} \right\} - \tilde{\varphi}^t \vec{F} + \lambda_m(0) \tilde{\varphi}^t \vec{N}(0) + \tilde{\varphi} \left[\tilde{\tau}^t \vec{N}(0) - T_o \right] \\ &\stackrel{K \equiv K^t}{=} \tilde{\varphi}^t \left\{ K \tilde{\tau} - \vec{F} + \lambda_m(0) \vec{N}(0) \right\} + \tilde{\varphi} \left[\tilde{\tau}^t \vec{N}(0) - T_o \right] \\ &\stackrel{N_i(0) = \delta_{ip}}{=} \sum_{i=0}^m \left\{ \sum_{j=0}^m K_{ij} \tau_j - F_i + \delta_{ip} \lambda_m(0) \right\} \varphi_i + [\tau_p - T_o] \tilde{\varphi} \\ &\equiv \sum_{i=0}^m \frac{\partial \tilde{J}_1}{\partial \tau_i}(\vec{\tau}, \lambda_m) \varphi_i + \frac{\partial \tilde{J}_1}{\partial \lambda_m(0)}(\vec{\tau}, \lambda_m) \tilde{\varphi} \end{aligned}$$

où $\phi_m = \vec{N}^t \tilde{\varphi}$, et $(\tilde{\varphi}, \tilde{\varphi}) \in \mathbb{R}^{m+2}$. La condition de stationnarité équivaut alors à

$$\vec{\nabla}_{(\vec{\tau}, \lambda_m)} \tilde{J}_1(T_m, \lambda_m) = \vec{0} \in \mathbb{R}^{m+2} \Leftrightarrow \begin{cases} \frac{\partial \tilde{J}_1}{\partial \tau_p}(T_m, \lambda_m) = \sum_{j=0}^m K_{pj} \tau_j + \lambda_m(0) - F_p = 0, \\ \frac{\partial \tilde{J}_1}{\partial \tau_i}(T_m, \lambda_m) = \sum_{j=0}^m K_{ij} \tau_j - F_i = 0, \quad \forall i \in \{0, \dots, m\} \setminus \{p\}, \\ \frac{\partial \tilde{J}_1}{\partial \lambda_m(0)}(T_m, \lambda_m) = \tau_p - T_o = 0. \end{cases}$$

Nous observons que les $m + 1$ dernières équations de stationnarité sont celles présentées en (b), alors que la première donne la valeur de

$$\lambda_m(0) = F_p - \sum_{j=0}^m K_{pj} \tau_j \stackrel{N_i(0)=\delta_{ip}}{=} \vec{N}^t(0) [\vec{F} - K\vec{\tau}] .$$

En pratique, si q désigne le rang de la composante qui est donnée dans $\vec{\tau}$, alors on déduit $\lambda_m(0)$ en retranchant la valeur du produit scalaire de la $q^{\text{ème}}$ ligne de K avec $\vec{\tau}$ à la $q^{\text{ème}}$ composante de \vec{F} .

3. Applications numériques

(a) Calcul de T_1 .

Nous avons déjà calculé (cf. partie 2 du TD n°1)

$$\int_0^L k \frac{d\vec{N}}{dx}(x) \frac{d\vec{N}^t}{dx}(x) dx = \frac{k}{L} \begin{bmatrix} 1 & -1 \\ -1 & 1 \end{bmatrix} = K$$

$$\int_0^L [c_o - c_1 x] \vec{N}(x) dx + h \vec{N}(L) = \begin{bmatrix} \frac{c_o L}{2} - \frac{c_1 L^2}{6} \\ \frac{c_o L}{2} - \frac{c_1 L^2}{3} + h \end{bmatrix} = \vec{F}$$

La méthode $i)$ va permettre d'obtenir $\vec{\tau} = \begin{bmatrix} \tau_o \\ \tau_1 \end{bmatrix}$, s'il est possible d'inverser l'équation

suivante $K'\vec{\tau} = \vec{F}'$, dans laquelle $K' = \begin{bmatrix} 1 & 0 \\ \frac{-k}{L} & \frac{k}{L} \end{bmatrix}$ et $\vec{F}' = \begin{bmatrix} T_o \\ \frac{c_o L}{2} - \frac{c_1 L^2}{3} + h \end{bmatrix}$.

Puisque $\det(K') = \frac{k}{L} \neq 0$ et $K'^{-1} = \begin{bmatrix} 1 & 0 \\ 1 & \frac{L}{k} \end{bmatrix}$, nous obtenons effectivement alors

$$\vec{\tau} = K'^{-1} \vec{F}' = \begin{bmatrix} T_o \\ T_o + \frac{L}{k} \left(\frac{c_o L}{2} - \frac{c_1 L^2}{3} + h \right) \end{bmatrix} \equiv \begin{bmatrix} T_{ex}(0) \\ T_{ex}(L) \end{bmatrix} .$$

Nous retrouvons ainsi l'approximation cinématiquement admissible de la partie **3b)** du TD n°1:

$$\begin{aligned} T_1 &= \vec{N}^t \vec{\tau} = \left(1 - \frac{x}{L}\right) T_o + \frac{x}{k} \left(T_o + \frac{c_o L}{2} - \frac{c_1 L^2}{3} + h \right) \\ &= T_o + \frac{x}{k} \left(\frac{c_o L}{2} - \frac{c_1 L^2}{3} + h \right) \end{aligned}$$

(b) Calcul de T_2 .

Nous avons déjà calculé (*cf.* partie 2 du TD n°1)

$$\int_0^L [c_o - c_1 x] \vec{N}(x) dx + h \vec{N}(L) = \begin{bmatrix} \frac{c_o L}{6} \\ \frac{2c_o L}{3} - \frac{c_1 L^2}{3} \\ \frac{c_o L}{6} + h - \frac{c_1 L^2}{6} \end{bmatrix} = \vec{F}$$

Le calcul de la matrice K nécessite notamment les deux résultats intermédiaires suivants

$$\begin{aligned} \frac{d\vec{N}^t}{dx}(x) &= \frac{1}{L} \begin{bmatrix} \frac{4x}{L} - 3 & 4 - \frac{8x}{L} & \frac{4x}{L} - 1 \end{bmatrix} \\ \frac{d\vec{N}}{dx}(x) \frac{d\vec{N}^t}{dx}(x) &= \frac{1}{L^2} \begin{bmatrix} \frac{4x}{L} - 3 \\ 4 - \frac{8x}{L} \\ \frac{4x}{L} - 1 \end{bmatrix} \begin{bmatrix} \frac{4x}{L} - 3 & 4 - \frac{8x}{L} & \frac{4x}{L} - 1 \end{bmatrix} \\ &= \frac{1}{L^2} \begin{bmatrix} \left(\frac{4x}{L} - 3\right)^2 & \left(\frac{4x}{L} - 3\right) \left(4 - \frac{8x}{L}\right) & \left(\frac{4x}{L} - 3\right) \left(\frac{4x}{L} - 1\right) \\ Sym & \left(4 - \frac{8x}{L}\right)^2 & \left(4 - \frac{8x}{L}\right) \left(\frac{4x}{L} - 1\right) \\ Sym & Sym & \left(\frac{4x}{L} - 1\right)^2 \end{bmatrix} \end{aligned}$$

Les intégrales des composantes “*quadratiques*” de cette matrice sur $[0, L]$ s’obtiennent avec la quadrature de SIMPSON, et donnent ainsi

$$K = \int_0^L k \frac{d\vec{N}}{dx}(x) \frac{d\vec{N}^t}{dx}(x) dx = \frac{k}{3L} \begin{bmatrix} 7 & -8 & 1 \\ -8 & 16 & -8 \\ 1 & -8 & 7 \end{bmatrix}.$$

Connaissant $\tau_0 = T_o$, la méthode *iii)* va permettre d’obtenir $\vec{\tau} = \begin{bmatrix} \tau_1 \\ \tau_2 \end{bmatrix}$ s’il est possible d’inverser l’équation suivante

$$\check{K} \vec{\tau} = \vec{F} \quad \text{avec} \quad \check{K} = \frac{k}{3L} \begin{bmatrix} 16 & -8 \\ -8 & 7 \end{bmatrix} \quad \text{et} \quad \vec{F} = \begin{bmatrix} \frac{2c_o L}{3} - \frac{c_1 L^2}{12} + \frac{8kL}{3} T_o \\ \frac{c_o L}{6} + h - \frac{c_1 L^2}{6} - \frac{kL}{3} T_o \end{bmatrix}.$$

Or $\det(\check{K}) = \frac{16k^2}{3L^2} \neq 0$ et $\check{K}^{-1} = \frac{[\text{Com } \check{K}]^t}{\det(\check{K})} = \begin{bmatrix} \frac{7L}{16k} & \frac{L}{2k} \\ \frac{L}{2k} & \frac{L}{k} \end{bmatrix}$. Nous déduisons donc

$$\text{que } \vec{\tau} = \check{K}^{-1} \vec{F} = \begin{bmatrix} T_o + \frac{L}{2k} \left(\frac{3c_o L}{4} + h - \frac{11c_1 L^2}{24} \right) \\ T_o + \frac{L}{k} \left(\frac{c_o L}{2} + h - \frac{c_1 L^2}{3} \right) \end{bmatrix} \equiv \begin{bmatrix} T_{ex}(L/2) \\ T_{ex}(L) \end{bmatrix},$$

et retrouvons ensuite l'approximation cinématiquement admissible de la partie **3c)** du TD n°1:

$$\begin{aligned}
T_2(x) &= \vec{N}^t(x) \vec{\tau} \\
&= \left(1 - \frac{x}{L}\right) \left(1 - \frac{2x}{L}\right) T_o + \frac{4x}{L} \left(1 - \frac{x}{L}\right) \left[T_o + \frac{L}{2k} \left(\frac{3c_o L}{4} + h - \frac{11c_1 L^2}{24} \right) \right] \\
&\quad + \frac{x}{L} \left(\frac{2x}{L} - 1 \right) \left[T_o + \frac{L}{k} \left(\frac{c_o L}{2} + h - \frac{c_1 L^2}{3} \right) \right] \\
&= T_o + \frac{x}{k} \left[c_o \left(L - \frac{x}{2} \right) + h + \frac{c_1 L}{4} \left(x - \frac{7L}{3} \right) \right]
\end{aligned}$$

(c) Les calculs des multiplicateurs de LAGRANGE et des flux en $x = 0$ donnent ici

$$\begin{aligned}
\lambda_{ex}(0) &= \frac{dT_{ex}}{dx}(0) = h + c_o L - \frac{c_1 L^2}{2} \\
\lambda_1(0) &= F_0 - [K_{00} \tau_0 + K_{01} \tau_1] \\
&= \frac{c_o L}{2} - \frac{c_1 L^2}{6} + \frac{k}{L} \begin{bmatrix} 1 & -1 \end{bmatrix} \begin{bmatrix} T_o \\ T_o + \frac{L}{k} \left(\frac{c_o L}{2} - \frac{c_1 L^2}{3} + h \right) \end{bmatrix} \equiv \lambda_{ex}(0) \\
\lambda_2(0) &= F_0 - [K_{00} \tau_0 + K_{01} \tau_1 + K_{02} \tau_2] \\
&= \frac{c_o L}{2} + \frac{k}{3L} \begin{bmatrix} 7 & -8 & 1 \end{bmatrix} \begin{bmatrix} T_o \\ T_o + \frac{L}{2k} \left(\frac{3c_o L}{4} + h - \frac{11c_1 L^2}{24} \right) \\ T_o + \frac{L}{k} \left(\frac{c_o L}{2} + h - \frac{c_1 L^2}{3} \right) \end{bmatrix} \equiv \lambda_{ex}(0) \\
k \frac{dT_1}{dx}(0) &= h + \frac{c_o L}{2} - \frac{c_1 L^2}{3} \neq k \frac{dT_{ex}}{dx}(0) \\
k \frac{dT_2}{dx}(0) &= h + c_o L - \frac{7c_1 L^2}{12} \neq k \frac{dT_{ex}}{dx}(0)
\end{aligned}$$

Il apparait que la valeur du flux réel $k \frac{dT_{ex}}{dx}(0)$ est toujours mieux "approximée" par les multiplicateurs de LAGRANGE $\lambda_m(0)$ que par les valeurs de flux $k \frac{dT_m}{dx}(0)$!

Problème 2 : Plaque élastique chargée perpendiculairement à son plan moyen de repos.

1. En remplaçant u par $u_3 = \vec{N}^t \vec{\tau}$, et ϕ par $\vec{N} = \begin{bmatrix} N_1(x) \\ N_2(x) \\ N_3(x) \end{bmatrix} = \begin{bmatrix} 1 - \frac{x_1}{L} - \frac{x_2}{L} \\ \frac{x_1}{L} \\ \frac{x_2}{L} \end{bmatrix}$

on aboutit alors au problème de minimisation suivant

$$(\mathcal{P}_1) \left\{ \begin{array}{l} \text{Trouver dans l'espace fonctionnelle} \\ V_3 = \left\{ u_3 = \vec{N}^t \vec{\tau} \in \mathcal{H}^1(\bar{\Omega}) \text{ avec } \vec{\tau} \in \mathbb{R}^3, \text{ et } u_3(x_1, 0) = \tau_1 + \frac{x_1}{L} (\tau_2 - \tau_1) = U, \forall x_1 \in \{0, L\} \right\} \\ \text{la fonction qui minimise l'énergie potentielle } J_1(u_3) = \vec{\tau}^t \left\{ \frac{1}{2} K \vec{\tau} - \vec{F} \right\} \end{array} \right.$$

dans lequel (en ré-utilisant simplement certaines parties de la correction TD n°2)

$$K = \int_{\Omega} \mu [\vec{\nabla} \vec{N}^t(x)]^t [\vec{\nabla} \vec{N}^t(x)] d\Omega = \frac{\mu}{2} \begin{bmatrix} 2 & -1 & -1 \\ -1 & 1 & 0 \\ -1 & 0 & 1 \end{bmatrix},$$

$$\vec{F} = \int_{\Omega} \frac{c}{L} \left(1 - \frac{x_1}{L}\right) \vec{N}(x) d\Omega - \int_{\Gamma \setminus \Gamma_1} \frac{c x_2^2}{2L\ell(x)} \vec{N}(x) d\Gamma = \frac{cL}{24} \begin{bmatrix} 2 \\ 1 \\ -3 \end{bmatrix}$$

La condition cinématique $u_3(x_1, 0) = U$ avec $x_1 \in \{0, L\}$ qui est imposée sur Γ_1 donne en fait $\tau_1 = \tau_2 = U$. Il est alors judicieux d'effectuer la détermination de $\vec{\tau}$ selon la méthode de réduction d'équations (*i.e.* comme pour obtenir $\check{K} \check{\tau} = \check{F}$), car cela ne laisse qu'une seule équation scalaire de stationnarité: $K_{33}\tau_3 = F_3 - (K_{31} + K_{32})U$. Nous trouvons finalement

$$\tau_3 = \frac{-2}{\mu} \left[\frac{cL}{24} + \frac{\mu}{2}(-1 + 0)U \right] = U - \frac{cL}{4\mu}$$

et nous retrouvons donc la solution

$$u_3 = [N_1(x) + N_2(x)]U + N_3(x)\tau_3 = \left[1 - \frac{x_2}{L}\right]U + \frac{x_2}{L} \left[U - \frac{cL}{4\mu}\right] = U - \frac{c x_2}{4\mu}.$$

2. (a) Le calcul des multiplicateurs de LAGRANGE d'approximation donne

$$\lambda_3(0, 0) = F_1 - (K_{11} + K_{12})U - K_{13}\tau_3 = \frac{cL}{24} - \frac{\mu}{2}(2 - 1)U - \frac{-\mu}{2} \left[U - \frac{cL}{4\mu}\right] = \frac{-cL}{12}$$

$$\lambda_3(0, L) = F_2 - (K_{21} + K_{22})U - K_{23}\tau_3 = \frac{cL}{24} - \frac{\mu}{2}(-1 + 1)U - 0 = \frac{cL}{24}$$

(b) Les calculs des valeurs limites de flux donnent

$$\mu L \frac{\partial u_3}{\partial n}(x_1, 0^+) = -\mu L \frac{\partial u_3}{\partial x_2}(x_1, 0^+) = \frac{cL}{4}, \forall x_1 \in]0, L[$$

$$\mu L \frac{\partial u_{ex}}{\partial n}(x_1, 0^+) = -\mu L \frac{\partial u_{ex}}{\partial x_2}(x_1, 0^+) = 0, \forall x_1 \in]0, L[$$

Nous constatons que les multiplicateurs donnent quand même de meilleurs estimations des valeurs des forces de réaction (= du flux) sur Γ_1 .

Solutions du TD n°3: Éléments finis

1. En reprenant un raisonnement du TD n°2 (où $p = n = 1$), nous déduisons que l'expression de l'énergie potentielle est

$$\begin{aligned} J_1(T_n) &= \sum_{e=1}^p \int_{\Omega_e} \left\{ \frac{k}{2} \left[\frac{dT_p}{dx}(x) \right]^2 - [c_o - c_1 x] T_n(x) \right\} dx - h T_n(L) \\ &= \sum_{e=1}^p J(T_{n/\Omega_e}) = \sum_{e=1}^p \vec{\tau}_e^t \left[\frac{1}{2} K_e \vec{\tau}_e - \vec{F}_e \right]. \end{aligned}$$

2. Approximation avec $p = 2$ éléments et $n + 1 = 3$ noeuds.

- (a) Les transformations géométriques isoparamétriques

$$\begin{aligned} \bar{\Omega}_r = [0, 1] &\xrightarrow{x} \bar{\Omega}_e = [X_{n_g(e,0)}, X_{n_g(e,m_e)}] \\ y &\longmapsto x(y) = \tilde{N}_1^t(y) \tilde{X}_e, \text{ avec } \tilde{N}_1 = \begin{bmatrix} 1-y \\ y \end{bmatrix} \text{ et } \tilde{X}_e = \begin{bmatrix} X_{n_g(e,0)} \\ X_{n_g(e,m_e)} \end{bmatrix} \end{aligned}$$

$$\text{sont, plus explicitement, comme } x(y) = \begin{cases} \frac{Ly}{2} & \in \bar{\Omega}_1 = [0, L/2] \\ \frac{L(1+y)}{2} & \in \bar{\Omega}_2 = [L/2, L] \end{cases}, \forall y \in \bar{\Omega}_r.$$

Puisque

$$\left\{ \begin{array}{l} dx = \frac{d\tilde{N}_1^t}{dy}(y) dy \tilde{X}_e = [X_{n_g(e,m_e)} - X_{n_g(e,0)}] dy = \frac{L}{2} dy \\ \frac{d\tilde{N}_e}{dx}(x) = \frac{d\tilde{N}_1}{dy}(y) \frac{dy}{dx}(x) = \frac{2}{L} \frac{d\tilde{N}_1}{dy}(y) = \frac{2}{L} \begin{bmatrix} -1 \\ 1 \end{bmatrix} \end{array} \right., \forall x \in \bar{\Omega}_1 \cup \bar{\Omega}_2$$

nous avons alors

$$K_e = \frac{2}{L} \int_0^1 k \frac{d\tilde{N}_1}{dy}(y) \frac{d\tilde{N}_1^t}{dy}(y) dy = \frac{2k}{L} \begin{bmatrix} 1 & -1 \\ -1 & 1 \end{bmatrix}, \text{ pour } e = 1, 2$$

$$\vec{F}_1 = \frac{L}{2} \int_0^1 \left[c_o - \frac{c_1 y L}{2} \right] \tilde{N}_1(y) dy = \begin{bmatrix} \frac{c_o L}{4} - \frac{c_1 L^2}{24} \\ \frac{c_o L}{4} - \frac{c_1 L^2}{12} \end{bmatrix},$$

$$\vec{F}_2 = \frac{L}{2} \int_0^1 \left[c_o - \frac{c_1(1+y)L}{2} \right] \tilde{N}_1(y) dy + h \tilde{N}_1(1) = \begin{bmatrix} \frac{c_o L}{4} - \frac{c_1 L^2}{6} \\ \frac{c_o L}{4} - \frac{5c_1 L^2}{24} + h \end{bmatrix}.$$

- (b) La table de connectivité de cette formulation en éléments finis est selon

\mathbf{e}	\mathbf{n}_1	0	$m = 1$
1		$n_g(1, 0) = 1$	$n_g(1, m) = 2$
$p = 2$		$n_g(p, 0) = 2$	$n_g(p, m) = 3$

Elle aide à ré-exprimer l'énergie selon $J(T_2) = \vec{\tau}^t \left[\frac{1}{2} K \vec{\tau} - \vec{F} \right]$, notamment en indiquant que les composantes de $\vec{\tau} = [\tau_{ng}]_{ng=1,2,3}$ y sont multipliées par celles de

$$K = \frac{2k}{L} \begin{bmatrix} \tau_1 & \tau_2 & \tau_3 \\ 1+0 & -1+0 & 0+0 \\ -1+0 & 1+1 & 0-1 \\ 0+0 & 0-1 & 0+1 \end{bmatrix} = \frac{2k}{L} \begin{bmatrix} 1 & -1 & 0 \\ -1 & 2 & -1 \\ 0 & -1 & 1 \end{bmatrix}$$

$$\vec{F} = \begin{matrix} \tau_1 \\ \tau_2 \\ \tau_3 \end{matrix} \begin{bmatrix} \frac{c_o L}{4} - \frac{c_1 L^2}{24} \\ \frac{c_o L}{4} - \frac{c_1 L^2}{12} \\ 0 \end{bmatrix} + \begin{bmatrix} 0 \\ \frac{c_o L}{4} - \frac{c_1 L^2}{6} \\ \frac{c_o L}{4} - \frac{5c_1 L^2}{24} + h \end{bmatrix} = \begin{bmatrix} \frac{c_o L}{4} - \frac{c_1 L^2}{24} \\ \frac{c_o L}{2} - \frac{c_1 L^2}{4} \\ \frac{c_o L}{4} - \frac{5c_1 L^2}{24} + h \end{bmatrix}.$$

- (c) • Comme au TD $n^{\circ}2$, la condition limite $T_o = T_{2/\bar{\Omega}_1}(0) = \tau_{ng(1,0)} = \tau_1$, nous permet de réduire la condition de stationnarité à une équation matricielle telle que $\check{K}\check{\tau} = \check{F}$, et où

$$\check{\tau} = \begin{bmatrix} \tau_2 \\ \tau_3 \end{bmatrix}, \quad \check{K} = \frac{2k}{L} \begin{bmatrix} 2 & -1 \\ -1 & 1 \end{bmatrix} \quad \text{et} \quad \check{F} = \begin{bmatrix} \frac{c_o L}{2} - \frac{c_1 L^2}{4} + \frac{2kT_o}{L} \\ \frac{c_o L}{4} - \frac{5c_1 L^2}{24} + h \end{bmatrix}.$$

$$\text{Or ici } \check{K}^{-1} = \frac{L}{2k} \begin{bmatrix} 1 & 1 \\ 1 & 2 \end{bmatrix}, \text{ et donc } \check{\tau} = \begin{bmatrix} T_o + \frac{L}{2k} \left(\frac{3c_o L}{4} - \frac{11c_1 L^2}{24} + h \right) \\ T_o + \frac{L}{k} \left(\frac{c_o L}{2} - \frac{c_1 L^2}{3} + h \right) \end{bmatrix} \equiv \begin{bmatrix} T_{ex}(L/2) \\ T_{ex}(L) \end{bmatrix}.$$

- L'expression de l'approximation T_2 est obtenue, par exemple, en exprimant la transformation géométrique inverse

$$y(x) = \frac{x - X_{ng(e,0)}}{X_{ng(e,m_e)} - X_{ng(e,0)}} = \begin{cases} \frac{2x}{L} & , \text{ si } x \in \bar{\Omega}_1 = [0, L/2] \\ \frac{2x}{L} - 1 & , \text{ si } x \in \bar{\Omega}_2 = [L/2, L] \end{cases}$$

dans le vecteur \check{N}_1 , puis en effectuant nos deux produits $T_{2/\bar{\Omega}_e}(x) = \check{N}_1^t(y(x)) \vec{\tau}_e$ avec

$$\vec{\tau}_1 = \begin{bmatrix} \tau_{ng(1,0)} \\ \tau_{ng(1,1)} \end{bmatrix} = \begin{bmatrix} \tau_1 \\ \tau_2 \end{bmatrix}, \quad \vec{\tau}_2 = \begin{bmatrix} \tau_{ng(2,0)} \\ \tau_{ng(2,1)} \end{bmatrix} = \begin{bmatrix} \tau_2 \\ \tau_3 \end{bmatrix}.$$

Le résultat est alors telle que

$$T_{2/\bar{\Omega}_1}(x) = T_{ex}(0) + [T_{ex}(L/2) - T_{ex}(0)] y(x)$$

$$T_{2/\bar{\Omega}_2}(x) = T_{ex}(L/2) + [T_{ex}(L) - T_{ex}(L/2)] y(x)$$

- La méthode des multiplicateurs de LAGRANGE (discrète) donne

$$\begin{aligned} \lambda_2(0) &= F_1 - K_{11} \tau_1 - K_{12} \tau_2 - K_{13} \tau_3 \\ &= \frac{c_o L}{4} - \frac{c_1 L^2}{24} - \frac{2kT_o}{L} + \frac{2k}{L} \left[T_o + \frac{L}{2k} \left(\frac{3c_o L}{4} - \frac{11c_1 L^2}{24} + h \right) \right] + 0 \\ &= c_o L - \frac{c_1 L^2}{2} + h \equiv k \frac{dT_{ex}}{dx}(0) \end{aligned}$$

(Exercices supplémentaires : raffinements de l'approximation.)

3. Effets d'une transformation géométrique non-linéaire

- (a) • Cette transformation géométrique

$$x(y) = (2y-1)y[X_3+X_2-2X_G] + 2y[X_G-X_2] + X_2 \quad , \quad \text{avec } X_G \in \Omega_2 =]X_2, X_3[=]L/2, L[$$

est effectivement non-linéaire, et plus précisément quadratique, si $X_G \neq \frac{X_3+X_2}{2} = \frac{3L}{4}$ (dans le cas contraire, on retrouve la transformation affine de la partie 2.)

- La régularité de cette transformation quadratique est assurée si sa dérivée

$$\frac{dx}{dy}(y) = \frac{d\vec{N}_2^t}{dy}(y) \vec{X}_2 = (4y-1)[X_3+X_2-2X_G] + 2[X_G-X_2]$$

qui est alors une *fonction non-constante* de $y \in \bar{\Omega}_r = [0, 1]$, ne s'annule pas sur $\bar{\Omega}_r$ (et conserve ainsi son signe sur $\bar{\Omega}_r$). Cette condition requière que

$$\frac{1}{4} - \frac{X_G - X_2}{2[X_3 + X_2 - 2X_G]} \notin \Omega_r = [0, 1] \quad \Leftrightarrow \quad X_G \in]5L/8, 7L/8[.$$

Lorsque toutes ces conditions sont satisfaites, $x(y)$ établit alors une bijection non-linéaire (qui est même strictement croissante) entre $\bar{\Omega}_r$ et $\bar{\Omega}_2$, avec notamment $x(1/2) = X_G$.

- (b) Si on veut utiliser des quadratures d'interpolation polynômiale qui seront définies sur $\bar{\Omega}_r$, alors on voit que la relation suivante

$$\frac{d\vec{N}_2}{dx}(x) = \frac{d\vec{N}_2}{dy}(y) \frac{dy}{dx}(x) = \frac{\frac{d\vec{N}_2}{dy}(y)}{(4y-1)[X_3+X_2-2X_G] + 2[X_G-X_2]}$$

ne permet pas d'obtenir le résultat exact de la matrice de rigidité

$$K_2 = \int_0^1 k \left(\frac{dy}{dx} \right)^2 \frac{d\vec{N}_2}{dy}(y) \frac{d\vec{N}_2^t}{dy}(y) \frac{dx}{dy} dy = \int_0^1 k \left(\frac{dy}{dx} \right) \frac{d\vec{N}_2}{dy}(y) \frac{d\vec{N}_2^t}{dy}(y) dy ,$$

car les fonctions à intégrer ne sont pas polynômiales mais rationnelles. Ce problème n'est néanmoins pas rencontré avec le vecteur des sollicitations extérieures F_2 car il ne dépend pas de la précédente dérivée.

Toutefois, K_2 peut être calculée exactement avec la quadrature polynômiale de SIMPSON (par exemple) sur $\bar{\Omega}_2$. Nous devons alors exprimer dans $\vec{N}_2(x) = \vec{N}_2(y(x)) = \begin{bmatrix} 1 - y(x) \\ y(x) \end{bmatrix}$

la fonction de transformation géométrique inverse et qui est telle que

$$y(x) = \frac{x - X_2}{X_3 - X_G} \left[\frac{X_3 - x}{2(X_G - X_2)} + \frac{x - X_G}{X_3 - X_2} \right] \in \bar{\Omega}_r = [0, 1] \quad , \quad \forall x \in \bar{\Omega}_2 = [X_2, X_3] = [L/2, L] .$$

- (c) • En laissant $\frac{5L}{8} < X_G = \frac{2L}{3} < \frac{3L}{4}$, et pour $x \in \bar{\Omega}_2 = [L/2, L]$, il vient alors

$$\begin{aligned} y(x) &= \frac{1}{2} \left(5 - \frac{3x}{L} \right) \left(\frac{2x}{L} - 1 \right), \\ \frac{d\vec{N}_2}{dx}(x) &= \frac{dy}{dx}(x) \begin{bmatrix} -1 \\ 1 \end{bmatrix} = \frac{13L - 12x}{2L^2} \begin{bmatrix} -1 \\ 1 \end{bmatrix}, \\ \frac{d\vec{N}_2}{dx}(x) \frac{d\vec{N}_2^t}{dx}(x) &= \left(\frac{13L - 12x}{2L^2} \right)^2 \begin{bmatrix} 1 & -1 \\ -1 & 1 \end{bmatrix}. \end{aligned}$$

Nous pouvons limiter les erreurs d'approximation en utilisant alors une quadrature de SIMPSON qui soit définie sur $\bar{\Omega}_2$. Nous obtenons ainsi

$$\begin{aligned} K_2 &= \int_{L/2}^L k \frac{d\vec{N}_2}{dx}(x) \frac{d\vec{N}_2^t}{dx}(x) dx = \frac{19k}{8L} \begin{bmatrix} 1 & -1 \\ -1 & 1 \end{bmatrix} \\ \vec{F}_2 &= \int_{L/2}^L [c_o - c_1 x] \vec{N}_2(x) dx + h \vec{N}_2(L) = \begin{bmatrix} \frac{-c_o L}{8} + \frac{13c_1 L^2}{96} \\ \frac{5c_o L}{8} - \frac{49c_1 L^2}{96} + h \end{bmatrix} \end{aligned}$$

- Le couple (K_1, \vec{F}_1) et la table de connectivité de cette formulation d'éléments finis sont encore ceux de l'étude **2**. Ainsi, "l'assemblage" des résultats élémentaires dans l'énergie $J(T_2) = \vec{\tau}^t \left[\frac{1}{2} K \vec{\tau} - \vec{F} \right]$ s'effectue avec $\vec{\tau} = [\tau_{ng}]_{ng=1,2,3}$, et

$$\begin{aligned} K &= \frac{k}{8L} \begin{bmatrix} \tau_1 & \tau_2 & \tau_3 \\ 16+0 & -16+0 & 0+0 \\ -16+0 & 16+19 & 0-19 \\ 0+0 & 0-19 & 0+19 \end{bmatrix} \begin{matrix} \tau_1 \\ \tau_2 \\ \tau_3 \end{matrix} = \frac{k}{8L} \begin{bmatrix} 16 & -16 & 0 \\ -16 & 35 & -19 \\ 0 & -19 & 19 \end{bmatrix} \\ \vec{F} &= \begin{matrix} \tau_1 \\ \tau_2 \\ \tau_3 \end{matrix} \begin{bmatrix} \frac{c_o L}{4} - \frac{c_1 L^2}{24} \\ \frac{c_o L}{4} - \frac{c_1 L^2}{12} \\ 0 \end{bmatrix} + \begin{bmatrix} 0 \\ \frac{-c_o L}{8} + \frac{13c_1 L^2}{96} \\ \frac{5c_o L}{8} - \frac{49c_1 L^2}{96} + h \end{bmatrix} = \begin{bmatrix} \frac{c_o L}{4} - \frac{c_1 L^2}{24} \\ \frac{c_o L}{8} + \frac{5c_1 L^2}{96} \\ \frac{5c_o L}{8} - \frac{49c_1 L^2}{96} + h \end{bmatrix} \end{aligned}$$

- La condition de stationnarité réduite, $\check{K} \vec{\tau} = \vec{F}$, s'écrit alors avec

$$\vec{\tau} = \begin{bmatrix} \tau_2 \\ \tau_3 \end{bmatrix}, \quad \check{K} = \frac{k}{8L} \begin{bmatrix} 35 & -19 \\ -19 & 19 \end{bmatrix} \quad \text{et} \quad \vec{F} = \begin{bmatrix} \frac{c_o L}{8} + \frac{5c_1 L^2}{96} + \frac{2kT_o}{L} \\ \frac{5c_o L}{8} - \frac{49c_1 L^2}{96} + h \end{bmatrix}.$$

$$\text{Puisque } \check{K}^{-1} = \frac{L}{38k} \begin{bmatrix} 19 & 19 \\ 19 & 35 \end{bmatrix}, \text{ alors } \vec{\tau} = \begin{bmatrix} T_o + \frac{L}{2k} \left(\frac{3c_o L}{4} - \frac{11c_1 L^2}{24} + h \right) \\ T_o + \frac{L}{38k} \left(\frac{97c_o L}{4} - \frac{135c_1 L^2}{8} + 35h \right) \end{bmatrix}.$$

- Nous en concluons alors que l'approximation $T_{2,\Omega_e}(x) = \vec{N}_e^t(y(x)) \vec{\tau}_e$ s'exprime main-

tenant comme

$$\begin{aligned}
T_{2/\Omega_1}(x) &= T_o + \frac{y(x)L}{2k} \left(\frac{3c_oL}{4} - \frac{11c_1L^2}{24} + h \right) \\
T_{2/\Omega_2}(x) &= T_o + \frac{L}{2k} \left[\left(\frac{3c_oL}{4} - \frac{11c_1L^2}{24} + h \right) + \frac{2y(x)}{19} \left(5c_oL - \frac{49c_1L^2}{12} + 8h \right) \right] \\
\text{avec } y(x) &= \begin{cases} \frac{2x}{L} & , \quad \forall x \in \bar{\Omega}_1 = [0, L/2] \\ \frac{1}{2} \left(5 - \frac{3x}{L} \right) \left(\frac{2x}{L} - 1 \right) & , \quad \forall x \in \bar{\Omega}_2 = [L/2, L] \end{cases} .
\end{aligned}$$

• Le multiplicateur de LAGRANGE donne encore le même résultat, avec

$$\lambda_2(0) = F_1 - K_{11} \tau_1 - K_{12} \tau_2 - K_{13} \tau_3 \equiv k \frac{dT_{ex}}{dx}(0) .$$

4. Approximation avec $p = 3$ éléments et $n + 1 = 4$ noeuds .

(a) Il est pratique de noter que les transformations géométriques isoparamétriques et leurs dérivées qui sont utilisées ici s'écrivent, avec les longueurs $L_e = X_{ng(e,m_e)} - X_{ng(e,0)}$ des éléments $\bar{\Omega}_e = [X_{ng(e,0)}, X_{ng(e,m_e)}]$, comme

$$\begin{aligned}
x(y) &= X_{ng(e,0)} + yL_e = \begin{cases} \frac{Ly}{2} & \in \bar{\Omega}_1 = [0, L/2] \\ \frac{L(2+y)}{4} & \in \bar{\Omega}_2 = [L/2, 3L/4] \\ \frac{L(3+y)}{4} & \in \bar{\Omega}_3 = [3L/4, L] \end{cases} , \forall y \in \bar{\Omega}_r = [0, 1] \\
\frac{dx}{dy}(x) &= L_e = \begin{cases} \frac{L}{2} & , \quad \forall x \in \bar{\Omega}_1 \\ \frac{L}{4} & , \quad \forall x \in \bar{\Omega}_2 \cup \bar{\Omega}_3 \end{cases} , \text{ et } \forall y \in \bar{\Omega}_r .
\end{aligned}$$

Certaines valeurs élémentaires s'écrivent alors d'une manière simple, comme

$$\begin{aligned}
\frac{d\vec{N}_e}{dx}(x) &= \frac{d\vec{N}_e}{dy}(y) \frac{dy}{dx}(x) = \frac{1}{L_e} \frac{d\vec{N}_e}{dy}(y) = \frac{1}{L_e} \frac{d}{dy} \begin{bmatrix} 1-y \\ y \end{bmatrix} = \frac{1}{L_e} \begin{bmatrix} -1 \\ 1 \end{bmatrix} \\
K_e &= \frac{1}{L_e} \int_0^1 k \frac{d\vec{N}_e}{dy}(y) \frac{d\vec{N}_e^t}{dy}(y) dy = \frac{k}{L_e} \begin{bmatrix} 1 & -1 \\ -1 & 1 \end{bmatrix} , \text{ pour } e = 1, 2, 3 ; \\
\vec{F}_1 &= L_1 \int_0^1 [c_o - c_1 y L_1] \vec{N}_1(y) dy = L_1 \begin{bmatrix} \frac{c_o}{2} - \frac{c_1 L_1}{12} \\ \frac{c_o}{2} - \frac{c_1 L_1}{6} \end{bmatrix} = \begin{bmatrix} \frac{c_o L}{4} - \frac{c_1 L^2}{24} \\ \frac{c_o L}{4} - \frac{c_1 L^2}{12} \end{bmatrix} ; \\
\vec{F}_2 &= L_2 \int_0^1 [c_o - c_1 (2+y) L_2] \vec{N}_2(y) dy = \begin{bmatrix} \frac{c_o L}{8} - \frac{7c_1 L^2}{96} \\ \frac{c_o L}{8} - \frac{c_1 L^2}{12} \end{bmatrix} ; \\
\vec{F}_3 &= L_3 \int_0^1 [c_o - c_1 (3+y) L_3] \vec{N}_3(y) dy + h \vec{N}_3(1) = \begin{bmatrix} \frac{c_o L}{8} - \frac{5c_1 L^2}{48} \\ \frac{c_o L}{8} - \frac{11c_1 L^2}{96} + h \end{bmatrix} .
\end{aligned}$$

(b) La table de connectivité de cette formulation en éléments finis est telle que

\mathbf{n}_1	0	$m = 1$
1	$n_g(1, 0) = 1$	$n_g(1, m) = 2$
2	$n_g(2, 0) = 2$	$n_g(2, m) = 3$
$p = 3$	$n_g(p, 0) = 3$	$n_g(p, m) = 4$

Par conséquent, l'énergie $J(T_3) = \vec{\tau}^t \left[\frac{1}{2} K \vec{\tau} - \vec{F} \right]$ s'exprime avec $\vec{\tau} = [\tau_{ng}]_{ng=1,2,3,4}$, et

$$K = \frac{2k}{L} \begin{bmatrix} \tau_1 & & & \\ 1+0+0 & -1+0+0 & 0+0+0 & 0+0+0 \\ & 1+2+0 & 0-2+0 & 0+0+0 \\ & Sym & 0+2+2 & 0+0-2 \\ & & & 0+0+2 \end{bmatrix} \begin{matrix} \tau_1 \\ \tau_2 \\ \tau_3 \\ \tau_4 \end{matrix} = \frac{2k}{L} \begin{bmatrix} 1 & -1 & 0 & 0 \\ -1 & 3 & -2 & 0 \\ 0 & -2 & 4 & -2 \\ 0 & 0 & -2 & 2 \end{bmatrix}$$

$$\vec{F} = \begin{matrix} \tau_1 \\ \tau_2 \\ \tau_3 \\ \tau_4 \end{matrix} \begin{bmatrix} \frac{c_o L}{4} - \frac{c_1 L^2}{24} \\ \frac{c_o L}{4} - \frac{c_1 L^2}{12} \\ 0 \\ 0 \end{bmatrix} + \begin{bmatrix} 0 \\ \frac{c_o L}{8} - \frac{7c_1 L^2}{96} \\ \frac{c_o L}{8} - \frac{c_1 L^2}{12} \\ 0 \end{bmatrix} + \begin{bmatrix} 0 \\ 0 \\ \frac{c_o L}{8} - \frac{5c_1 L^2}{48} \\ \frac{c_o L}{8} - \frac{11c_1 L^2}{96} + h \end{bmatrix} = \begin{bmatrix} \frac{c_o L}{4} - \frac{c_1 L^2}{24} \\ \frac{3c_o L}{8} - \frac{5c_1 L^2}{32} \\ \frac{c_o L}{4} - \frac{3c_1 L^2}{16} \\ \frac{c_o L}{8} - \frac{11c_1 L^2}{96} + h \end{bmatrix}$$

(c) • La condition de stationnarité réduite $\check{K}\check{\tau} = \check{F}$ s'écrit alors avec

$$\check{\tau} = \begin{bmatrix} \tau_2 \\ \tau_3 \\ \tau_4 \end{bmatrix}, \quad \check{K} = \frac{2k}{L} \begin{bmatrix} 3 & -2 & 0 \\ -2 & 4 & -2 \\ 0 & -2 & 2 \end{bmatrix} \quad \text{et} \quad \check{F} = \begin{bmatrix} \frac{3c_o L}{8} - \frac{5c_1 L^2}{32} + \frac{2kT_o}{L} \\ \frac{c_o L}{4} - \frac{3c_1 L^2}{16} \\ \frac{c_o L}{8} - \frac{11c_1 L^2}{96} + h \end{bmatrix}.$$

Nous trouvons ici que $\check{K}^{-1} = \frac{L}{4k} \begin{bmatrix} 2 & 2 & 2 \\ 2 & 3 & 3 \\ 2 & 3 & 4 \end{bmatrix}$, et donc

$$\check{\tau} = \begin{bmatrix} T_o + \frac{L}{2k} \left(\frac{3c_o L}{4} - \frac{11c_1 L^2}{24} + h \right) \\ T_o + \frac{3L}{4k} \left(\frac{5c_o L}{8} - \frac{13c_1 L^2}{32} + h \right) \\ T_o + \frac{L}{k} \left(\frac{c_o L}{2} - \frac{c_1 L^2}{3} + h \right) \end{bmatrix} \equiv \begin{bmatrix} T_{ex}(L/2) \\ T_{ex}(3L/4) \\ T_{ex}(L) \end{bmatrix}.$$

- L'approximation T_3 apparait finalement telle que

$$T_{3/\Omega_e}(x) = \tilde{N}_e^t(y(x)) \vec{\tau}_e = T_{ex}(X_{n_g(e,0)}) + [T_{ex}(X_{n_g(e,m_e)}) - T_{ex}(X_{n_g(e,0)})] y(x)$$

avec $y(x) = \frac{x - X_{n_g(e,0)}}{L_e}$, $\forall x \in \bar{\Omega}_e = [X_{n_g(e,0)}, X_{n_g(e,m_e)}]$ (pour $e = 1, 2, 3$) .

- La méthode des multiplicateurs de LAGRANGE donne encore le résultat exact, car

$$\lambda_2(0) = F_1 - K_{11} \tau_1 - K_{12} \tau_2 - K_{13} \tau_3 - K_{14} \tau_4 \equiv k \frac{dT_{ex}}{dx}(0) .$$

5. Approximation avec $p = 2$ éléments et $n + 1 = 4$ noeuds .

- (a) Les transformations géométriques et leurs dérivées s'écrivent à nouveau simplement comme

$$x(y) = \begin{cases} \frac{Ly}{2} & \in \bar{\Omega}_1 = [0, L/2] \\ \frac{L(1+y)}{2} & \in \bar{\Omega}_2 = [L/2, L] \end{cases}, \forall y \in \bar{\Omega}_r = [0, 1]$$

$$\frac{dx}{dy}(x) = \frac{L}{2} \quad \forall x \in \bar{\Omega}_1 \cup \bar{\Omega}_2 \text{ et } \forall y \in \bar{\Omega}_r .$$

Les résultats obtenus dans la partie **2.** sur $\bar{\Omega}_1$ restent les mêmes tandis que ceux sur $\bar{\Omega}_2$ deviennent

$$\frac{d\tilde{N}_2}{dx}(x) = \frac{d\tilde{N}_2}{dy}(y) \frac{dy}{dx}(x) = \frac{2}{L} \frac{d}{dy} \begin{bmatrix} (1-2y)(1-y) \\ 4y(1-y) \\ y(2y-1) \end{bmatrix} = \frac{2}{L} \begin{bmatrix} 4y-3 \\ 4(1-2y) \\ 4y-1 \end{bmatrix}$$

$$K_2 = \frac{2}{L} \int_0^1 k \frac{d\tilde{N}_2}{dy}(y) \frac{d\tilde{N}_2^t}{dy}(y) dy = \frac{2k}{3L} \begin{bmatrix} 7 & -8 & 1 \\ -8 & 16 & -8 \\ 1 & -8 & 7 \end{bmatrix} ;$$

$$\vec{F}_2 = \frac{L}{2} \int_0^1 \left[c_o - \frac{c_1(1+y)L}{2} \right] \tilde{N}_2(y) dy + h \tilde{N}_2(1) = \begin{bmatrix} \frac{c_o L}{12} - \frac{c_1 L^2}{24} \\ \frac{c_o L}{3} - \frac{c_1 L^2}{4} \\ \frac{c_o L}{12} - \frac{c_1 L^2}{12} + h \end{bmatrix} .$$

- (b) La table de connectivité s'exprime ici comme

n₁	0	1	$m = 2$
e			
1	$n_g(1, 0) = 1$	$n_g(1, 1) = 2$	
$p = 2$	$n_g(p, 0) = 2$	$n_g(p, 1) = 3$	$n_g(p, m) = 4$

et l'énergie s'écrit ainsi selon $J(T_3) = \vec{\tau}^t \left[\frac{1}{2} K \vec{\tau} - \vec{F} \right]$, avec $\vec{\tau} = [\tau_{ng}]_{ng=1,2,3}$, et

$$K = \frac{2k}{3L} \begin{array}{c} \tau_1 \quad \tau_2 \quad \tau_3 \quad \tau_4 \\ \left[\begin{array}{cccc} 3+0 & -3+0 & 0+0 & 0+0 \\ & 3+7 & 0-8 & 0+1 \\ & Sym & 0+16 & 0-8 \\ & & & 0+7 \end{array} \right] \end{array} \begin{array}{l} \tau_1 \\ \tau_2 \\ \tau_3 \\ \tau_4 \end{array} = \frac{2k}{3L} \begin{bmatrix} 3 & -3 & 0 & 0 \\ -3 & 10 & -8 & 1 \\ 0 & -8 & 16 & -8 \\ 0 & 1 & -8 & 7 \end{bmatrix}$$

$$\vec{F} = \begin{array}{c} \tau_1 \\ \tau_2 \\ \tau_3 \\ \tau_4 \end{array} \begin{bmatrix} \frac{c_o L}{4} - \frac{c_1 L^2}{24} \\ \frac{c_o L}{4} - \frac{c_1 L^2}{12} \\ 0 \\ 0 \end{bmatrix} + \begin{bmatrix} 0 \\ \frac{c_o L}{12} - \frac{c_1 L^2}{24} \\ \frac{c_o L}{3} - \frac{c_1 L^2}{4} \\ \frac{c_o L}{12} - \frac{c_1 L^2}{12} + h \end{bmatrix} = \begin{bmatrix} \frac{c_o L}{4} - \frac{c_1 L^2}{24} \\ \frac{c_o L}{3} - \frac{c_1 L^2}{8} \\ \frac{c_o L}{3} - \frac{c_1 L^2}{4} \\ \frac{c_o L}{12} - \frac{c_1 L^2}{12} + h \end{bmatrix}$$

(c) • Notre condition de stationnarité $\check{K} \vec{\tau} = \vec{F}$ fait intervenir maintenant

$$\vec{\tau} = \begin{bmatrix} \tau_2 \\ \tau_3 \\ \tau_4 \end{bmatrix}, \quad \check{K} = \frac{2k}{3L} \begin{bmatrix} 10 & -8 & 1 \\ -8 & 16 & -8 \\ 1 & -8 & 7 \end{bmatrix} \quad \text{et} \quad \vec{F} = \begin{bmatrix} \frac{c_o L}{3} - \frac{c_1 L^2}{8} + \frac{2kT_o}{k} \\ \frac{c_o L}{3} - \frac{c_1 L^2}{4} \\ \frac{c_o L}{12} - \frac{c_1 L^2}{12} + h \end{bmatrix}.$$

En utilisant la matrice $\check{K}^{-1} = \frac{L}{32k} \begin{bmatrix} 16 & 16 & 16 \\ 16 & 23 & 24 \\ 16 & 24 & 32 \end{bmatrix}$, il vient alors

$$\vec{\tau} = \check{K}^{-1} \vec{F} = \begin{bmatrix} T_o + \frac{L}{2k} \left(\frac{3c_o L}{4} - \frac{11c_1 L^2}{24} + h \right) \\ T_o + \frac{3L}{4k} \left(\frac{5c_o L}{8} - \frac{13c_1 L^2}{32} + h \right) \\ T_o + \frac{L}{k} \left(\frac{c_o L}{2} - \frac{c_1 L^2}{3} + h \right) \end{bmatrix} \equiv \begin{bmatrix} T_{ex}(L/2) \\ T_{ex}(3L/4) \\ T_{ex}(L) \end{bmatrix}.$$

• En considérant $T_{3/\Omega_e} = \vec{N}_e^t(y(x)) \vec{\tau}_e$, nous avons alors

$$\begin{aligned} T_{3/\Omega_1}(x) &= T_{ex}(0) + [T_{ex}(L/2) - T_{ex}(0)] y(x) \\ T_{3/\Omega_2}(x) &= T_{ex}(L/2) + y(x) \left\{ T_{ex}(L) - T_{ex}(L/2) \right. \\ &\quad \left. + 2[1 - y(x)] [2T_{ex}(3L/4) - T_{ex}(L) - T_{ex}(L/2)] \right\} \end{aligned}$$

$$\text{avec } y(x) = \begin{cases} \frac{2x}{L} & , \quad \forall x \in \bar{\Omega}_1 = [0, L/2] \\ \frac{2x}{L} - 1 & , \quad \forall x \in \bar{\Omega}_2 = [L/2, L] \end{cases}.$$

• La méthode des multiplicateurs de LAGRANGE donne encore le résultat exact, car

$$\lambda_2(0) = F_1 - K_{11} \tau_1 - K_{12} \tau_2 - K_{13} \tau_3 - K_{14} \tau_4 \equiv k \frac{dT_{ex}}{dx}(0)$$

Problème 2 : Plaque élastique chargée perpendiculairement à son plan moyen de repos.

1. L'énergie totale se décompose selon $J_1(u_5) = \sum_{e=1}^6 J(u_{5/\bar{\Omega}_e}) = \sum_{e=1}^6 \vec{\tau}_e^t \left[\frac{1}{2} K_e \vec{\tau}_e - \vec{F}_e \right]$
avec les grandeurs élémentaires

$$K_e = \int_{\Omega_e} \mu [\vec{\nabla} \vec{N}_e^t(x)]^t [\vec{\nabla} \vec{N}_e^t(x)] d\Omega$$

$$\vec{F}_e = \int_{\Omega_e} \frac{c}{L} \left(1 - \frac{x_1}{L}\right) \vec{N}_e(x) d\Omega - \int_{(\Gamma \setminus \Gamma_1) \cap \bar{\Omega}_e} \frac{c x_2^2}{2L\ell(x)} \vec{N}_e(x) d\Gamma$$

2. • **Calculs sur l'élément rectangulaire $\bar{\Omega}_1$**

Les fonctions de forme sont sur cet élément : $\vec{N}_1(x) = \begin{bmatrix} N_1(x) \\ N_2(x) \\ N_3(x) \\ N_4(x) \end{bmatrix} = \begin{bmatrix} \left(1 - \frac{2x_1}{L}\right) \left(1 - \frac{2x_2}{L}\right) \\ \frac{2x_1}{L} \left(1 - \frac{2x_2}{L}\right) \\ \frac{4x_1 x_2}{L^2} \\ \left(1 - \frac{2x_1}{L}\right) \frac{2x_2}{L} \end{bmatrix}$.

La matrice de rigidité $K_1 = \int_0^{L/2} \int_0^{L/2} \mu [\vec{\nabla} \vec{N}_1^t(x)]^t [\vec{\nabla} \vec{N}_1^t(x)] dx_2 dx_1$ s'obtient en calculant

$$\vec{\nabla} \vec{N}_1^t(x) = \begin{bmatrix} \frac{\partial}{\partial x_1} \\ \frac{\partial}{\partial x_2} \end{bmatrix} \begin{bmatrix} N_1(x) & N_2(x) & N_3(x) & N_4(x) \end{bmatrix} = \frac{2}{L} \begin{bmatrix} \frac{2x_2}{L} - 1 & 1 - \frac{2x_2}{L} & \frac{2x_2}{L} & \frac{-2x_2}{L} \\ \frac{2x_1}{L} - 1 & \frac{-2x_1}{L} & \frac{2x_1}{L} & 1 - \frac{2x_1}{L} \end{bmatrix}$$

Les quadratures proposées suffisent pour obtenir les résultats d'intégration de ces dernières sur $\bar{\Omega}_1$, et il vient :

$$K_1 = \frac{\mu}{6} \begin{bmatrix} \tau_1 & \tau_2 & \tau_3 & \tau_4 \\ 4 & -1 & -2 & -1 \\ -1 & 4 & -1 & -2 \\ -2 & -1 & 4 & -1 \\ -1 & -2 & -1 & 4 \end{bmatrix} \begin{bmatrix} \tau_1 \\ \tau_2 \\ \tau_3 \\ \tau_4 \end{bmatrix}.$$

Quant au vecteur des sollicitations extérieures qui, en accord avec le sens de $d\vec{\Gamma}$ sur $\Gamma_3 \cap \bar{\Omega}_1$, s'exprime comme

$$\begin{aligned} \vec{F}_1 &= \int_{\Omega_1} \frac{c}{L} \left(1 - \frac{x_1}{L}\right) \vec{N}_1(x) d\Omega - \int_{\Gamma_3 \cap \bar{\Omega}_1} \frac{c x_2^2}{2L^2} \vec{N}_1(x) d\Gamma \\ &= \int_0^{L/2} \int_0^{L/2} \frac{c}{L} \left(1 - \frac{x_1}{L}\right) \vec{N}_1(x) dx_2 dx_1 - \int_{\underline{\underline{L/2}}}^0 \frac{c x_2^2}{2L^2} \vec{N}_1(0, x_2) dx_2 \end{aligned}$$

il vaut numériquement : $\vec{F}_1 = \frac{cL}{96} \begin{bmatrix} 5 \\ 4 \\ 4 \\ 5 \end{bmatrix} - \frac{cL}{192} \begin{bmatrix} 1 \\ 0 \\ 0 \\ 3 \end{bmatrix} = \frac{cL}{192} \begin{bmatrix} 9 \\ 8 \\ 8 \\ 7 \end{bmatrix} \begin{bmatrix} \tau_1 \\ \tau_2 \\ \tau_3 \\ \tau_4 \end{bmatrix}$.

• Calculs sur les éléments triangulaires $\bar{\Omega}_2$ et $\bar{\Omega}_3$

Les deux transformations géométriques $\bar{\Omega}_r \rightarrow \bar{\Omega}_e \times \mathbb{R}$ laissent $x_3(y) \equiv 0$ et donnent

$$\begin{aligned} \begin{bmatrix} x_1 & x_2 \end{bmatrix} (y) &= \tilde{N}^t(y) \begin{bmatrix} \bar{X}_{12} & \bar{X}_{22} \end{bmatrix} = \begin{bmatrix} 1 - y_1 - y_2 & y_1 & y_2 \end{bmatrix} \begin{bmatrix} X_{12} & X_{22} \\ X_{15} & X_{25} \\ X_{13} & X_{23} \end{bmatrix} \\ &= \frac{L}{2} \begin{bmatrix} 1 + y_1 & y_2 \end{bmatrix} \quad , \text{ dans } \Omega_2 \\ \begin{bmatrix} x_1 & x_2 \end{bmatrix} (y) &= \tilde{N}^t(y) \begin{bmatrix} \bar{X}_{13} & \bar{X}_{23} \end{bmatrix} = \begin{bmatrix} 1 - y_1 - y_2 & y_1 & y_2 \end{bmatrix} \begin{bmatrix} X_{14} & X_{24} \\ X_{13} & X_{23} \\ X_{16} & X_{26} \end{bmatrix} \\ &= \frac{L}{2} \begin{bmatrix} y_1 & 1 + y_2 \end{bmatrix} \quad , \text{ dans } \Omega_3 \end{aligned}$$

En particulier, et en respectant le sens de parcourt $d\vec{\Gamma}$, on décrit les portions de bord $\Gamma_2 \cap \bar{\Omega}_2$ et $\Gamma_2 \cap \bar{\Omega}_3$ avec $y = (1 - y_2, y_2)$ et $y_2 \in [0, 1]$ (ou bien $y = (y_1, 1 - y_1)$ et $y_1 \in [0, 1]$), et la portion de bord $\Gamma_3 \cap \bar{\Omega}_3$ avec $y = (0, 1 - y_2)$ et $y_2 \in [0, 1]$; nous avons alors:

$$\begin{aligned} \begin{bmatrix} x_1 & x_2 \end{bmatrix} (1 - y_2, y_2) &= \tilde{N}^t(1 - y_2, y_2) \begin{bmatrix} \bar{X}_{12} & \bar{X}_{22} \end{bmatrix} = \frac{L}{2} \begin{bmatrix} 2 - y_2 & y_2 \end{bmatrix} \quad , \text{ sur } \Gamma_2 \cap \Omega_2 \\ \begin{bmatrix} x_1 & x_2 \end{bmatrix} (1 - y_2, y_2) &= \tilde{N}^t(1 - y_2, y_2) \begin{bmatrix} \bar{X}_{13} & \bar{X}_{23} \end{bmatrix} = \frac{L}{2} \begin{bmatrix} 1 - y_2 & 1 + y_2 \end{bmatrix} \quad , \text{ sur } \Gamma_2 \cap \Omega_3 \\ \begin{bmatrix} x_1 & x_2 \end{bmatrix} (0, 1 - y_2) &= \tilde{N}^t(0, 1 - y_2) \begin{bmatrix} \bar{X}_{13} & \bar{X}_{23} \end{bmatrix} = \frac{L}{2} \begin{bmatrix} 0 & 2 - y_2 \end{bmatrix} \quad , \text{ sur } \Gamma_3 \cap \Omega_3 \end{aligned}$$

L'utilisation de ces transformations entraîne la reformulation des matrices de rigidité

$$\begin{aligned} K_2 &= \int_{L/2}^L \int_0^{L-x_1} \mu \left[\vec{\nabla} \tilde{N}_2^t(x) \right]^t \left[\vec{\nabla} \tilde{N}_2^t(x) \right] dx_2 dx_1 \\ K_3 &= \int_0^{L/2} \int_{L/2}^{L-x_1} \mu \left[\vec{\nabla} \tilde{N}_3^t(x) \right]^t \left[\vec{\nabla} \tilde{N}_3^t(x) \right] dx_2 dx_1 \end{aligned}$$

$$\text{en } K_e = \int_0^1 \int_0^{1-y_1} \mu \left[\left[\frac{\partial x}{\partial y} \right]^{-1} \tilde{\nabla} \tilde{N}^t(y) \right]^t \left[\left[\frac{\partial x}{\partial y} \right]^{-1} \tilde{\nabla} \tilde{N}^t(y) \right] \left| \det \left(\left[\frac{\partial x}{\partial y} \right] \right) \right| dy_2 dy_1, \text{ pour } e = 2, 3.$$

Les termes qui sont intégrés dans ces formules sont constants et égaux car ils sont formés avec

$$\tilde{\nabla} \tilde{N}^t(y) = \begin{bmatrix} \frac{\partial}{\partial y_1} \\ \frac{\partial}{\partial y_2} \end{bmatrix} \begin{bmatrix} 1 - y_1 - y_2 & y_1 & y_2 \end{bmatrix} = \begin{bmatrix} -1 & 1 & 0 \\ -1 & 0 & 1 \end{bmatrix}$$

et la matrice jacobienne

$$\left[\frac{\partial x}{\partial y} \right] = \tilde{\nabla} \begin{bmatrix} x_1(y) & x_2(y) \end{bmatrix} = \tilde{\nabla} \tilde{N}^t(y) \begin{bmatrix} \bar{X}_{1e} & \bar{X}_{2e} \end{bmatrix} = \frac{L}{2} \begin{bmatrix} 1 & 0 \\ 0 & 1 \end{bmatrix} \quad , \text{ pour } e = 2, 3$$

$$\text{qui donne : } \det \left(\left[\frac{\partial x}{\partial y} \right] \right) = 2 \times (\text{Aire de } \bar{\Omega}_e) = \frac{L^2}{4} \quad , \quad \text{et} \quad \left[\frac{\partial x}{\partial y} \right]^{-1} = \frac{2}{L} \begin{bmatrix} 1 & 0 \\ 0 & 1 \end{bmatrix} \quad .$$

On peut ainsi écrire

$$K_e = (\text{Aire de } \bar{\Omega}_r) \times \mu \left[\left[\frac{\partial x}{\partial y} \right]^{-1} \tilde{\nabla} \tilde{N}^t(y) \right]^t \left[\left[\frac{\partial x}{\partial y} \right]^{-1} \tilde{\nabla} \tilde{N}^t(y) \right] \left| \det \left(\left[\frac{\partial x}{\partial y} \right] \right) \right|$$

et conclure que
$$K_2 = \frac{\mu}{2} \begin{bmatrix} \tau_2 & \tau_5 & \tau_3 \\ 2 & -1 & -1 \\ -1 & 1 & 0 \\ -1 & 0 & 1 \end{bmatrix} \begin{matrix} \tau_2 \\ \tau_5 \\ \tau_3 \end{matrix} \equiv K_3 = \frac{\mu}{2} \begin{bmatrix} \tau_4 & \tau_3 & \tau_6 \\ 2 & -1 & -1 \\ -1 & 1 & 0 \\ -1 & 0 & 1 \end{bmatrix} \begin{matrix} \tau_4 \\ \tau_3 \\ \tau_6 \end{matrix} .$$

Les vecteurs des sollicitations extérieures sont initialement tels que

$$\begin{aligned} \vec{F}_2 &= \int_{\Omega_2} \frac{c}{L} \left(1 - \frac{x_1}{L}\right) \vec{N}_2(x) d\Omega - \int_{\Gamma_2 \cap \bar{\Omega}_2} \frac{c x_2^2}{2\sqrt{2}L^2} \vec{N}_2(x) d\Gamma \\ &= \int_{L/2}^L \int_0^{L-x_1} \frac{c}{L} \left(1 - \frac{x_1}{L}\right) \vec{N}_2(x) dx_2 dx_1 - \int_0^{L/2} \frac{c x_2^2}{2\sqrt{2}L^2} \vec{N}_2(L/2 - x_2, x_2) \sqrt{1 + \frac{dx_1}{dx_2}(x_2)} dx_2 \\ \vec{F}_3 &= \int_{\Omega_3} \frac{c}{L} \left(1 - \frac{x_1}{L}\right) \vec{N}_3(x) d\Omega - \int_{\Gamma_2 \cap \bar{\Omega}_3} \frac{c x_2^2}{2\sqrt{2}L^2} \vec{N}_3(x) d\Gamma - \int_{\Gamma_3 \cap \bar{\Omega}_3} \frac{c x_2^2}{2L^2} \vec{N}_3(x) d\Gamma \\ &= \int_0^{L/2} \int_{L/2}^{L-x_1} \frac{c}{L} \left(1 - \frac{x_1}{L}\right) \vec{N}_3(x) dx_2 dx_1 - \int_{L/2}^L \frac{c x_2^2}{2\sqrt{2}L^2} \vec{N}_2(L - x_2, x_2) \sqrt{1 + \frac{dx_1}{dx_2}(x_2)} dx_2 \\ &\quad - \int_L^{L/2} \frac{c x_2^2}{2L^2} \vec{N}_2(0, x_2) dx_2 \end{aligned}$$

selon le sens de $d\vec{\Gamma}$ sur $\Gamma_2 \cap \bar{\Omega}_2$, $\Gamma_2 \cap \bar{\Omega}_3$, et $\Gamma_3 \cap \bar{\Omega}_3$. Ils se reformulent comme

$$\begin{aligned} \vec{F}_2 &= \int_0^1 \int_0^{1-y_1} \frac{c}{L} \left[1 - \frac{\vec{N}^t(y) \vec{X}_{12}}{L}\right] \vec{N}(y) \left| \det \left(\begin{bmatrix} \partial x \\ \partial y \end{bmatrix} \right) \right| dy_2 dy_1 \\ &\quad - \int_0^1 c \frac{[\vec{N}^t(1-y_2, y_2) \vec{X}_{22}]^2}{2\sqrt{2}L^2} \vec{N}(1-y_2, y_2) \left\| \frac{d}{dy_2} [\vec{N}^t(1-y_2, y_2) \vec{X}_{i2}]_{i=1,2} \right\| dy_2 ; \\ \vec{F}_3 &= \int_0^1 \int_0^{1-y_1} \frac{c}{L} \left[1 - \frac{\vec{N}^t(y) \vec{X}_{13}}{L}\right] \vec{N}(y) \left| \det \left(\begin{bmatrix} \partial x \\ \partial y \end{bmatrix} \right) \right| dy_2 dy_1 \\ &\quad - \int_0^1 c \frac{[\vec{N}^t(1-y_2, y_2) \vec{X}_{23}]^2}{2\sqrt{2}L^2} \vec{N}(1-y_2, y_2) \left\| \frac{d}{dy_2} [\vec{N}^t(1-y_2, y_2) \vec{X}_{i3}]_{i=1,2} \right\| dy_2 \\ &\quad - \int_1^0 c \frac{[\vec{N}^t(0, y_2) \vec{X}_{23}]^2}{2L^2} \vec{N}(0, y_2) \left\| \frac{d}{dy_2} [\vec{N}^t(0, y_2) \vec{X}_{i3}]_{i=1,2} \right\| dy_2 . \end{aligned}$$

Nous pouvons simplifier ces expressions en tenant compte de nos précédents calculs et de

$$\begin{aligned} \left\| \frac{d}{dy_2} [\vec{N}^t(1-y_2, y_2) \vec{X}_{ie}]_{i=1,2} \right\| &= \left\| \frac{L}{2} \begin{bmatrix} 1 \\ 1 \end{bmatrix} \right\| = \frac{L}{\sqrt{2}} \\ \left\| \frac{d}{dy_2} [\vec{N}^t(0, y_2) \vec{X}_{i3}]_{i=1,2} \right\| &= \left\| \frac{L}{2} \begin{bmatrix} 0 \\ 1 \end{bmatrix} \right\| = \frac{L}{2} \end{aligned}$$

(les dérivations s'effectuant en dernier). Nous obtenons ainsi

$$\begin{aligned}\vec{F}_2 &= \int_0^1 \int_0^{1-y_1} \frac{cL(1-y_1)}{8} \vec{\tilde{N}}(y) dy_2 dy_1 - \int_0^1 \frac{cL y_2^2}{16} \vec{\tilde{N}}(1-y_2, y_2) dy_2 ; \\ \vec{F}_3 &= \int_0^1 \int_0^{1-y_1} \frac{cL(2-y_1)}{8} \vec{\tilde{N}}(y) dy_2 dy_1 \\ &\quad - \int_0^1 \frac{cL}{16} \left[(1+y_2)^2 \vec{\tilde{N}}(1-y_2, y_2) + (2-y_2)^2 \vec{\tilde{N}}(0, 1-y_2) \right] dy_2 .\end{aligned}$$

et finalement, en utilisant les quadratures,

$$\begin{aligned}\vec{F}_2 &= \frac{cL}{192} \begin{bmatrix} 3 \\ 2 \\ 3 \end{bmatrix} - \frac{cL}{192} \begin{bmatrix} 0 \\ 1 \\ 3 \end{bmatrix} = \frac{cL}{192} \begin{bmatrix} 3 \\ 1 \\ 0 \end{bmatrix} \begin{matrix} \tau_2 \\ \tau_5 \\ \tau_3 \end{matrix} ; \\ \vec{F}_3 &= \frac{cL}{192} \begin{bmatrix} 7 \\ 6 \\ 7 \end{bmatrix} - \frac{cL}{192} \begin{bmatrix} 0+11 \\ 11+0 \\ 17+17 \end{bmatrix} = \frac{-cL}{192} \begin{bmatrix} 4 \\ 5 \\ 27 \end{bmatrix} \begin{matrix} \tau_4 \\ \tau_3 \\ \tau_6 \end{matrix} .\end{aligned}$$

3. L'assemblage donne alors $J_1(u_5) = \vec{\tau}^t \left[\frac{1}{2} K \vec{\tau} - \vec{F} \right]$, avec $\vec{\tau} = [\tau_j]_{j=1, \dots, 6}$,

$$K = [K_{ij}]_{i,j=1, \dots, 6} = \frac{\mu}{6} \begin{bmatrix} \tau_1 & \tau_2 & \tau_3 & \tau_4 & \tau_5 & \tau_6 \\ 4 & -1 & -2 & -1 & 0 & 0 \\ & 10 & -4 & -2 & -3 & 0 \\ & & 10 & -4 & 0 & 0 \\ & sym & & 10 & 0 & -3 \\ & & & & 3 & 0 \\ & & & & & 3 \end{bmatrix} \begin{matrix} \tau_1 \\ \tau_2 \\ \tau_3 \\ \tau_4 \\ \tau_5 \\ \tau_6 \end{matrix} \quad \text{et} \quad \vec{F} = [F_i]_{i=1, \dots, 6} = \frac{cL}{192} \begin{bmatrix} 9 \\ 11 \\ 3 \\ 3 \\ 1 \\ -27 \end{bmatrix} \begin{matrix} \tau_1 \\ \tau_2 \\ \tau_3 \\ \tau_4 \\ \tau_5 \\ \tau_6 \end{matrix} .$$

4. Sur les portions de bord $(\Gamma_1 \cap \bar{\Omega}_1)$ et $(\Gamma_1 \cap \bar{\Omega}_2)$ qui se décrivent avec $y = (y_1, 0)$ et $y_1 \in [0, 1]$, nous imposons la condition cinématique $u_{5, \Gamma_1}(x) = U \Leftrightarrow \tau_1 = \tau_2 = \tau_5 = U$. Il nous reste à déterminer les autres composantes de $\vec{\tau}$ en utilisant la condition de stationnarité (réduite)

$$\check{K} \vec{\tau} = \vec{F} \quad , \quad \text{avec} \quad \vec{\tau} = \begin{bmatrix} \tau_3 \\ \tau_4 \\ \tau_6 \end{bmatrix} \quad , \quad \check{K} = \frac{\mu}{6} \begin{bmatrix} \tau_3 & \tau_4 & \tau_6 \\ 10 & -4 & 0 \\ -4 & 10 & -3 \\ 0 & -3 & 3 \end{bmatrix} \begin{matrix} \tau_3 \\ \tau_4 \\ \tau_6 \end{matrix} \quad \text{et} \quad \vec{F} = \begin{bmatrix} \frac{cL}{64} + \mu U \\ \frac{cL}{64} + \frac{\mu U}{2} \\ \frac{-9cL}{64} \end{bmatrix} \begin{matrix} \tau_3 \\ \tau_4 \\ \tau_6 \end{matrix} .$$

$$\text{Comme } \check{K}^{-1} = \frac{1}{9\mu} \begin{bmatrix} 7 & 4 & 4 \\ 4 & 10 & 10 \\ 4 & 10 & 28 \end{bmatrix} \quad , \quad \text{on déduit alors } \vec{\tau} = \check{K}^{-1} \vec{F} = \begin{bmatrix} U - \frac{25cL}{576\mu} \\ U - \frac{19cL}{144\mu} \\ U - \frac{119cL}{288\mu} \end{bmatrix} .$$

Nous savons que $\{u_5(A_i)\}_{i=1,\dots,6} = \{\tau_i\}_{i=1,\dots,6}$ et constatons les inégalités suivantes aux 3 noeuds qui ne sont pas sur Γ_1 (comme $c, \mu \geq 0$) :

$$\begin{aligned} \text{en } A_3 : \quad u_5(L/2, L/2) &= U - \frac{25cL}{576\mu} > u_{ex}(L/2, L/2) = U - \frac{cL}{16\mu} \\ \text{en } A_4 : \quad u_5(0, L/2) &= U - \frac{19cL}{144\mu} < u_{ex}(0, L/2) = U - \frac{cL}{8\mu} \\ \text{en } A_6 : \quad u_5(0, L) &= U - \frac{119cL}{288\mu} > u_{ex}(0, L) = U - \frac{cL}{2\mu} \end{aligned}$$

Nous trouvons pour le déplacement du barycentre de la plaque

$$\begin{aligned} u_{5/\bar{\Omega}_1}(L/3, L/3) &= \vec{N}_1^t(L/3, L/3) \vec{\tau}_1 = \frac{1}{9} \begin{bmatrix} 1 \\ 2 \\ 4 \\ 2 \end{bmatrix}^t \begin{bmatrix} U \\ U \\ U - \frac{25cL}{576\mu} \\ U - \frac{19cL}{144\mu} \end{bmatrix} \quad (\text{car } \vec{\tau}_1 = [\tau_i]_{i=1,2,3,4}) \\ &= U - \frac{7cL}{144\mu} < u_{ex}(L/3, L/3) = U - \frac{cL}{27\mu}. \end{aligned}$$

5. Nous calculons les valeurs des multiplicateurs de LAGRANGE d'approximation aux 3 noeuds $\{A_i\}_{i=1,2,5} \subset \Gamma_1$ en effectuant $[\lambda_3(A_i)]_{i=1,2,5} = [F_i]_{i=1,2,5} - [K_{ij}]_{\substack{i=1,2,5 \\ j=1,\dots,6}} \vec{\tau}$ et trouvons ainsi

$$\begin{bmatrix} \lambda_3(A_1) \\ \lambda_3(A_2) \\ \lambda_3(A_3) \end{bmatrix} = \frac{cL}{192} \begin{bmatrix} 9 \\ 11 \\ 1 \end{bmatrix} - \frac{\mu}{6} \begin{bmatrix} 4 & -1 & -2 & -1 & 0 & 0 \\ -1 & 10 & -4 & -2 & -3 & 0 \\ 0 & -3 & 0 & 0 & 3 & 0 \end{bmatrix} \begin{bmatrix} U \\ U \\ U - \frac{25cL}{576\mu} \\ U - \frac{19cL}{144\mu} \\ U \\ U - \frac{119cL}{288\mu} \end{bmatrix} = \frac{cL}{192} \begin{bmatrix} -38 \\ -45 \\ 1 \end{bmatrix}$$

On vérifie alors que l'on obtient de moins bonnes estimations des forces de réactions

$$\mu L \frac{\partial u_{ex}}{\partial n}(x_1, 0^+) = -\mu L \frac{\partial u_{ex}}{\partial x_2}(x_1, 0^+) = 0, \quad \forall x_1 \in]0, L[$$

avec les valeurs limites des flux

$$\begin{aligned} \mu L \frac{\partial u_{5/\bar{\Omega}_1}}{\partial n}(x_1, 0^+) &= -\mu L \frac{\partial u_{5/\bar{\Omega}_1}}{\partial x_2}(x_1, 0^+) = \begin{cases} \frac{19cL}{72}, & \text{si } x_1 = 0^+ \\ \frac{25cL}{288}, & \text{si } x_1 = \frac{L}{2}^- \end{cases} \\ \mu L \frac{\partial u_{5/\bar{\Omega}_2}}{\partial n}(x_1, 0^+) &= \mu L \left[\vec{n}^t(x) \left[\frac{\partial x}{\partial y} \right]^{-1} \vec{\nabla} \vec{N}^t(y(x)) \right] \vec{\tau}_2 = \frac{25cL}{288}, \quad \forall x_1 \in]L/2, L[\end{aligned}$$